

Soirée de remise des prix 2019

Le bureau français de l'IEEE PES vous convie à la soirée annuelle de remise des prix des doctorants et ingénieurs de l'année 2019.

Nous débuterons par la remise des prix des « outstanding engineers » à Yannick Kieffel pour ses travaux sur les alternatives éco-responsables au gaz isolant SF6 et à Mathieu Caujolle pour ses contributions sur la modélisation et la co-simulation des smart-grids. Ils présenteront leurs derniers travaux sur ces thèmes.

Nous poursuivrons avec les trois lauréats doctorants de l'année dont les exposés seront introduits par les responsables industriels qui viendront expliciter les enjeux des thèses.

Ahmed Zama présentera ses [travaux](#) sur la modélisation et le contrôle des convertisseurs AC/DC modulaires multi-niveaux (MMC) pour des applications dans le transport d'électricité en courant continu à très haute tension (HVDC).

Olivier Borne enchainera sur une présentation de sa [thèse](#) sur les services de flexibilités pouvant être apportés par le Vehicle-To-Grid : depuis la solution technique jusqu'à la construction de modèles d'affaire.

Nuno Marinho conclura par l'exposé de nouvelles [méthodes](#) de réduction de modèles de système électrique pour des études technico-économiques.

Organisation et Parrainage

- Chapitre français de l'IEEE PES (Power & Energy Society)
- Avec l'appui de la SEE (Société de l'Electricité, de l'Electronique et des Technologies de l'Information et de la Communication) – Club technique « Systèmes électriques »

Lieu

RTE – Immeuble Window
7C, place du Dôme, Paris - La Défense
RER A / Métro ligne 1 – Station : La Défense Gde Arche



Mercredi 9 octobre 2019
de 17h30 à 19h30

RTE – Immeuble Window

7C, place du Dôme
Paris - La Défense

17h30

Accueil et introduction

Sébastien Henry (*IEEE PES France*)

Outstanding engineers 2019

17h35

**Yannick Kieffel (General Electric),
Alternatives éco-responsables au
gaz isolant SF6**

17h55

**Mathieu Caujolle (EDF),
Modélisation et co-simulation des
smart-grids**

Doctorants 2019

18h15

**Ahmed Zama (G2ELab, Grenoble
INP)**

**Modélisation et contrôle des
convertisseurs modulaires
multi-niveaux (MMC) HVDC**

18h40

**Olivier Borne (CentraleSupélec)
Services de flexibilité apportés par
le Vehicle-To-Grid**

19h05

**Nuno Marinho (CentraleSupélec)
Réduction d'un modèle de
système électrique pour des
études technico-économiques**

19h30

Pot de l'amitié

Inscription et Renseignements

Inscription en ligne gratuite : <http://bit.ly/1gNuQWb>

Après la soirée, les présentations sont disponibles sur
<http://ewh.ieee.org/r8/france/pes/>



g^3 : Tomorrow's SF₆-Free Standard for HV Equipment

Yannick KIEFFEL

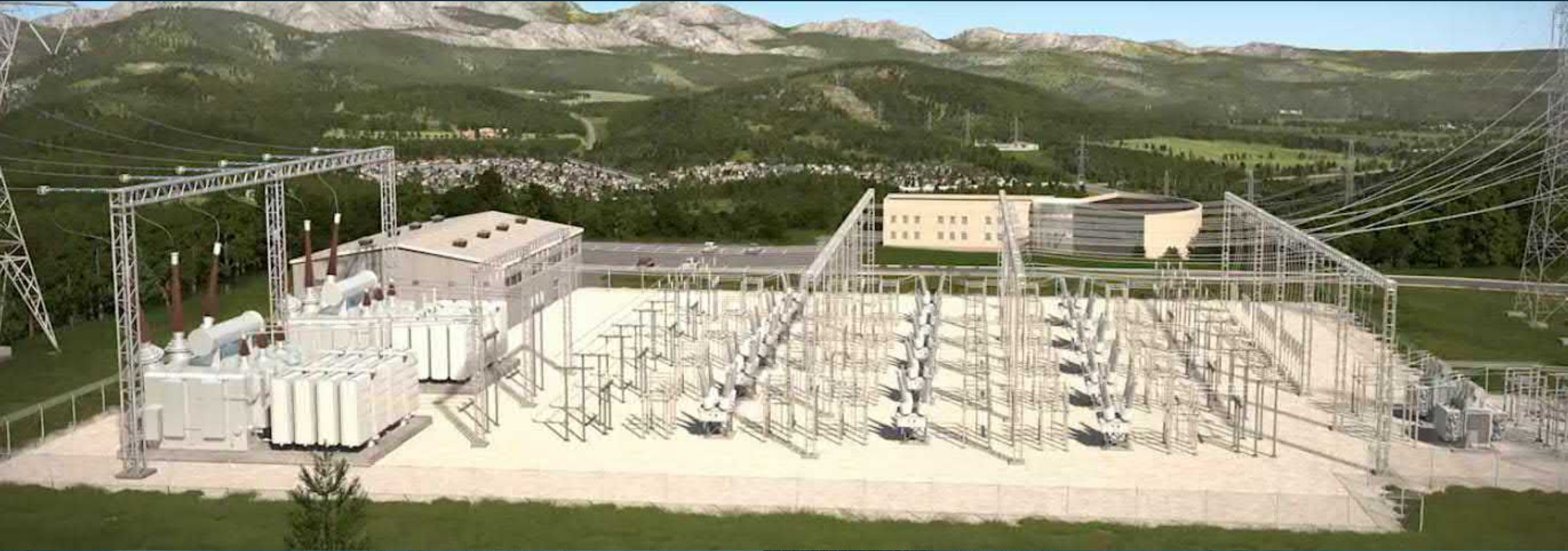
09/10/2019



Mercredi 9 octobre 2019
de 17h30 à 19h30
RTE – Immeuble Window
7C, place du Dôme
Paris - La Défense



Context



High voltage substation

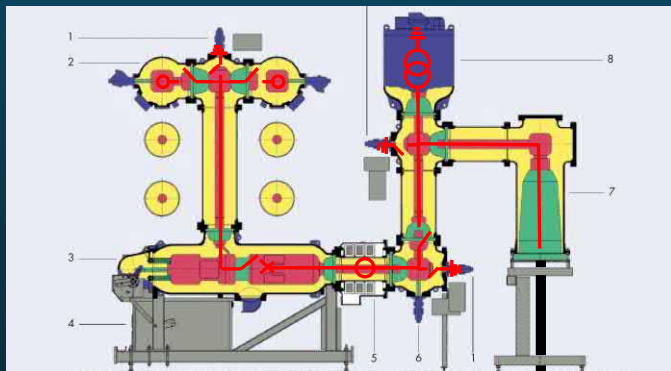
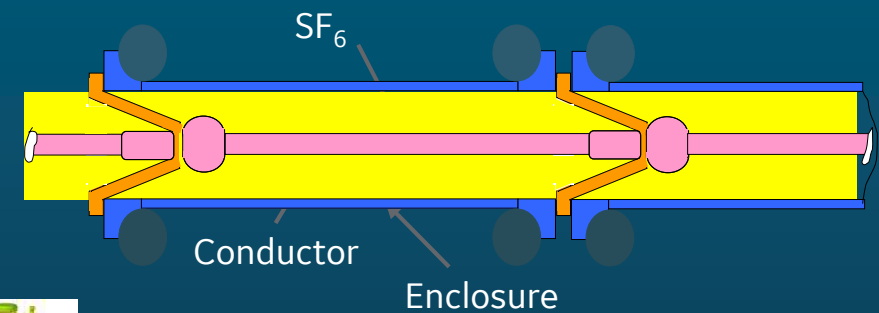


Context

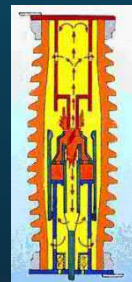
Where & How we use SF₆ ?

SF₆ is a gas with excellent electric insulating properties.

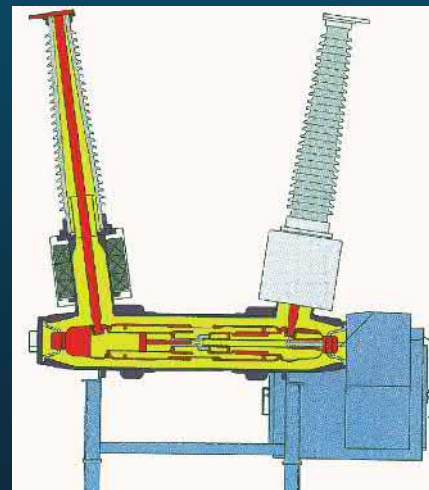
Used for **insulation & interruption of currents** in substations.



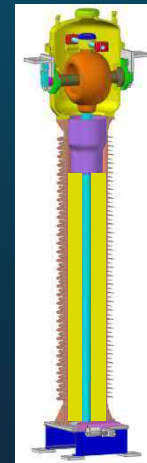
GIS



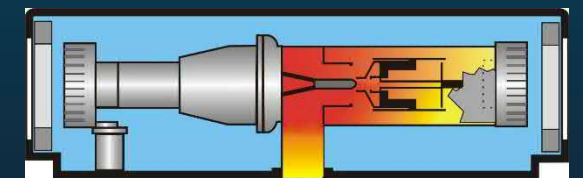
LT



DT



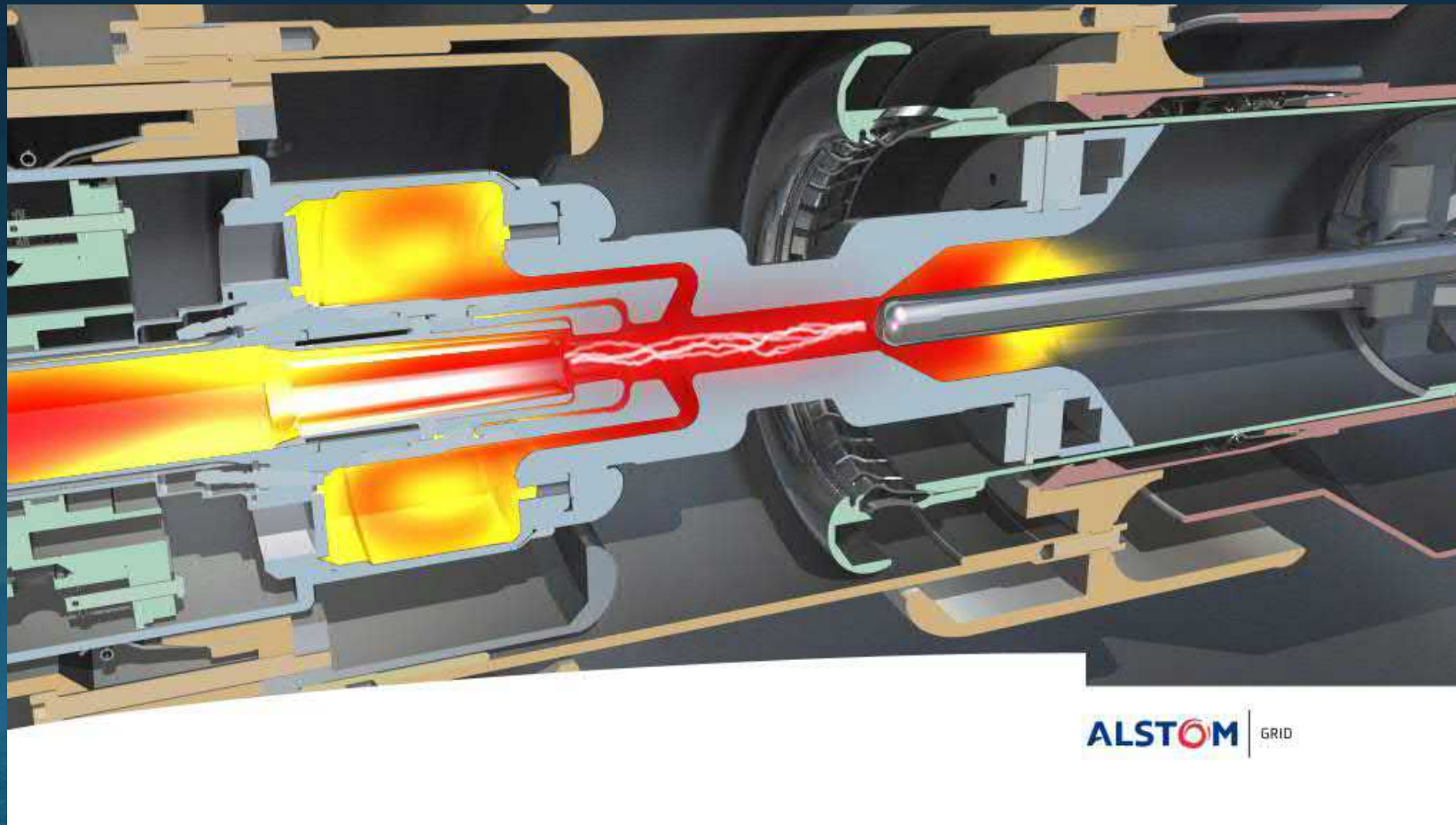
ITR



GCB

SF₆ is currently used across all High Voltage Switchgear portfolio

Context

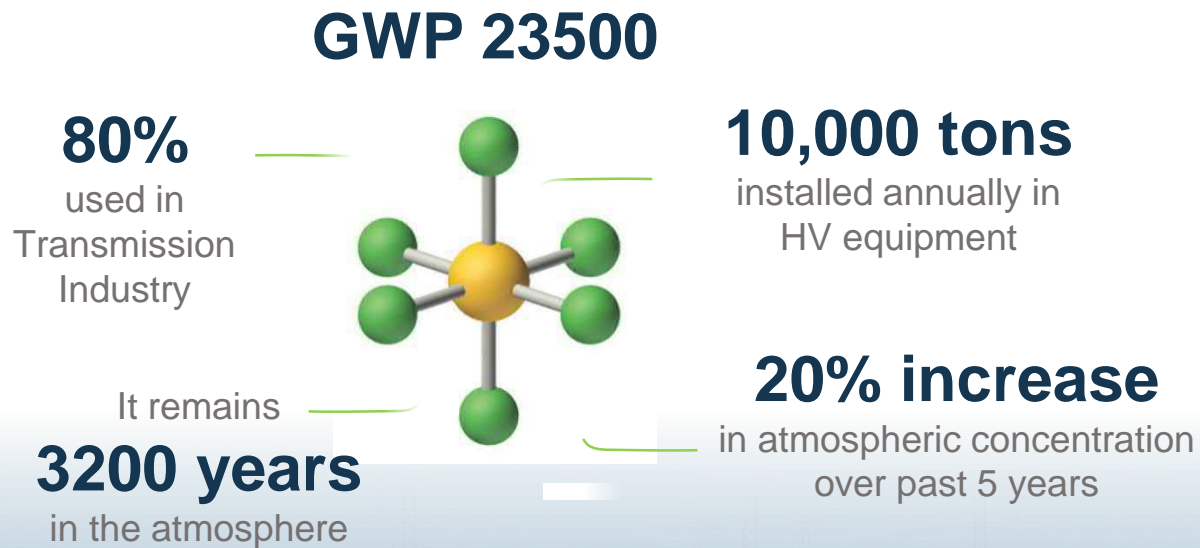


**SF₆ is key to the electrical transmission industry,
However, it is a greenhouse gas with a strong global warming potential**



Context

SF₆: SIGNIFICANT ENVIRONMENTAL IMPACT



SF₆ REGULATION

- ✧ 1997 : Kyoto protocol, SF₆ listed as GHG
- ✧ 1999: US EPA SF₆ emission reduction
- ✧ 2006 EU F-gas regulation
- ✧ 2007 California global warming solution act
- ✧ 2009 COP15 Copenhagen reduce GHG emissions by 40 to 70% by 2050 (vs 2010)
- ✧ 2015 COP21 Paris : 196 countries commit to reduce their GHG emissions
- ✧ EU target to cut GHG emissions -20% by 2020, -40% by 2030, -80% by 2050

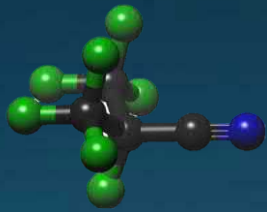
**SF₆ is key to the electrical transmission industry,
However, it is a greenhouse gas with a strong global warming potential**



What is g³



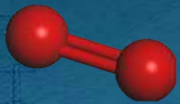
⚡ A gas mixture made of :



- (CF₃)₂CFCN, 3M™ Novec™ 4710 Insulating Gas: provides the dielectric strength.



- CO₂ handles the arc interruption process.



- O₂ Oxygen helps reducing carbon and CO generation in arcing condition.

⚡ Main characteristics:

- Low GWP : > 99 % CO₂e reduction versus SF₆
- Dielectric performance: 100 % of SF₆ by selecting adequate Novec 4710 ratio and pressure
- Application: -25/-30 oC and all voltage levels
- Toxicity: Same toxicity class like SF₆ (new and polluted gas)
- Material compatibility: compatible with the standard materials used in high-voltage equipment
- Non-flammable (like SF₆)
- Chemically stable : no degradation up to 700 oC
- EU Reach registration : done
- Same dimensions as for SF₆ products
- Technical performance similar to today's SF₆ products

g³ – Gas handling tools



Gas carts for gas filling, recovery and topping-up



Gas quality check (humidity, ratio)



Gas leakage detection



PPE

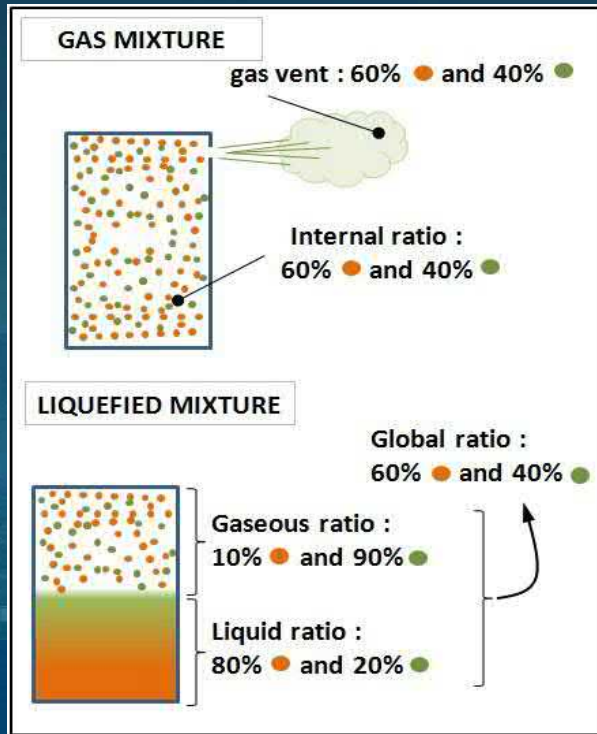


Complete set of tools developed to handle and check the gas safely and efficiently



Gas handling tools

- How to deliver liquefied gas mixture on site and to fill equipment with homogeneous gas.
- → To use the supercritical phase of the mixture



Return of experience at Sellinge, 420 kV GIL

Return of experience at Sellinge, 420kV GIL

- Heating of the liquid g^3 delivered on site to reach the supercritical state of g^3 in order to have an homogeneous gas mixture
- The technologie can be used indoor or outdoor, even in harsh condition.
- Gas quality measurement on site.



HEATING BELT

Applications - Portfolio

GAS-INSULATED LINES
420 kV



-99.3 %

CO₂ equivalent of
installed gas mass

For -25°C application

**GAS-INSULATED
SUBSTATIONS**
145 kV



-99.1 %

CO₂ equivalent of
installed gas mass

For -25°C application

**AIS INSTRUMENT
TRANSFORMERS**
123 kV & 245 kV



-99.2 %

CO₂ equivalent of
installed gas mass

For -30°C applications

**AIS
CIRCUIT-BREAKERS**
145 kV



-99.3 %

CO₂ equivalent of
installed gas mass

For -30°C applications



g³ Adoption



16 LEADING UTILITIES

Have decided to install equipment with g³

g³ Gas-Insulated Lines
420 kV, -25 °C
5 sites – 2033 meters

g³ Gas-Insulated Substations
145 kV, -25 °C
12 sites – 70 bays

g³ AIS – Instrument Transformers
up to 245 kV, -30 °C
3 sites – 6 CT – 3 CMU

g³ AIS – Live Tank CB
123 kV, -30 °C
1 sites – 2 LT



63 kV GIS, RTE, France



Le réseau
de transport
d'électricité

7 bays of 72,5 kV g³ GIS at Grimaud Substation



Year of order: 2017 – Commissioning : Sept. 2019

	in tons of CO ₂ e
CO₂e reduction of installed gas masses	17,750
CO₂e reduction of emissions over 40 years	8,880



Environmental Wins



g³ Global Projects

ENVIRONMENTAL IMPACT

Global Warming Potential (GWP) of total installed gas masses reduced by

>386,000 tons CO₂e

>82,000 tons CO₂e

prevented from entering the atmosphere over 40-yr operational period

Calculation based on multiplying GWP in carbon equivalent by tons of installed gas mass.
Calculation based on gas emission rate of 0.5% over 40 year lifetime: $(\text{GWP SF}_6 * 0.5 * 40) - (\text{GWP g}^3 * 0.5 * 40)$



Standardization is moving forward



SF₆ became the main insulating and switching medium for High Voltage equipment



Existing IEC and IEEE standards are not specific to SF₆ but need adaptations for alternative gases



Kista meeting – creation of Ad-Hoc group to review IEC standards

Start revision of IEC 62271-4

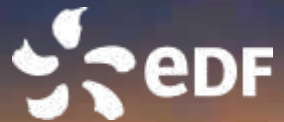
Technical report on impact of alternative gases on existing standards (PES-TR64) + creation of 2 new WG

3 Working Groups (A3.41, B3.45, D1.67)
1 new brochure TB730

Growing activity to adapt existing standards







Modélisation et Co-Simulation des Smart-Grids

Mathieu CAUJOLLE

EDF R&D

2019.10.09

EDF, un leader de la transition énergétique



1900 salariés en France
225 salariés hors de France



29 nationalités représentées
117 doctorants



13 laboratoires communs avec des partenaires



9 centres en France et à l'étranger

4 PRIORITÉS STRATÉGIQUES

en cohérence avec le projet CAP 2030 du Groupe EDF



PRÉPARER

les systèmes et réseaux électriques de demain



DÉVELOPPER & EXPÉRIMENTER

de nouveaux services énergétiques pour les clients



CONSOLIDER ET DÉVELOPPER

des mix de production compétitifs et décarbonés



SOUTENIR le développement du Groupe à l'international en tissant des partenariats de recherche

EDF, un leader de la transition énergétique

PRÉPARER LES SYSTÈMES ET RÉSEAUX ÉLECTRIQUES DE DEMAIN

- Optimiser la durée de vie des infrastructures des réseaux électriques
- Contribuer à la réussite des projets de compteurs communicants
- Développer des outils de pilotage avancés des systèmes électriques
- Concevoir des solutions énergétiques territoriales et les intégrer au système global

15 GW en moyens de stockage d'ici à 2035



LE PLAN
stockage
électrique

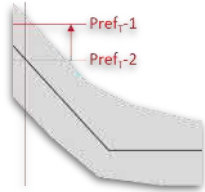
Fournisseur de 100 TWh / an
Leader de la recharge intelligente

LE PLAN
MOBILITÉ
ÉLECTRIQUE



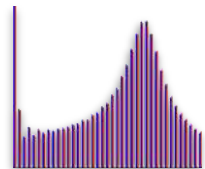
30 % de parts de marché du secteur à l'horizon 2035

Mes contributions



Planification et nouvelles architectures

Gestion prévisionnelle et conduite



Qualité de l'alimentation

Simulation multi-domaines



Normalisation



Planification des réseaux de distribution

De nouveaux usages connectés aux réseaux...



...nécessitant la définition de nouvelles méthodes pour évaluer et anticiper ces changements...

... et les intégrer dans les processus de planification



Affiner les hypothèses pour intégrer l'évolution des usages & des réseaux...



...pour améliorer les méthodes et les outils existants...



Et proposer de nouvelles méthodes de planification

Thèse sur la planification des réseaux BT

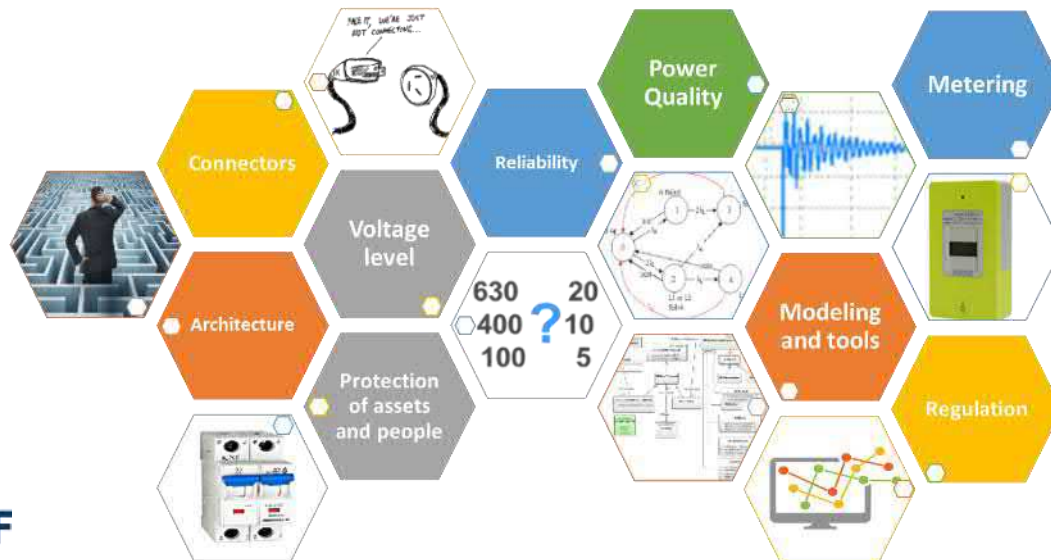
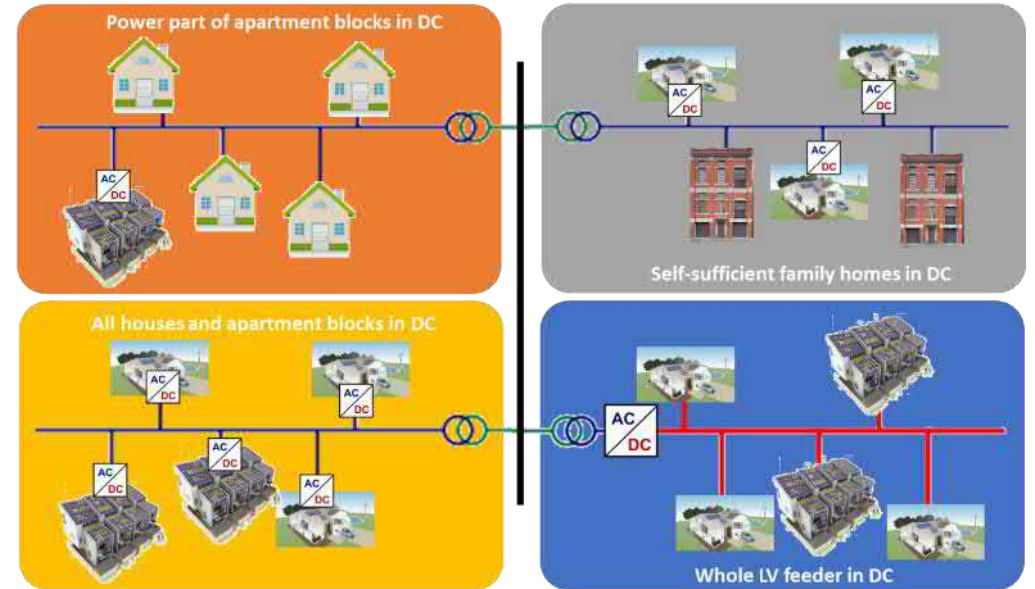




Nouvelles architectures hybrides AC/DC

Le courant continu, un facilitateur pour le développement des EnR et les économies d'énergie

- **Des objectifs prometteurs...**
 - Réduction des pertes
 - Intégration plus aisée du stockage, des PV et des VE
 - Réduction des coûts en équipement
- ... potentiellement applicables dans les secteurs résidentiels, tertiaires et industriels...
- ... mais de nombreuses problématiques restent à traiter



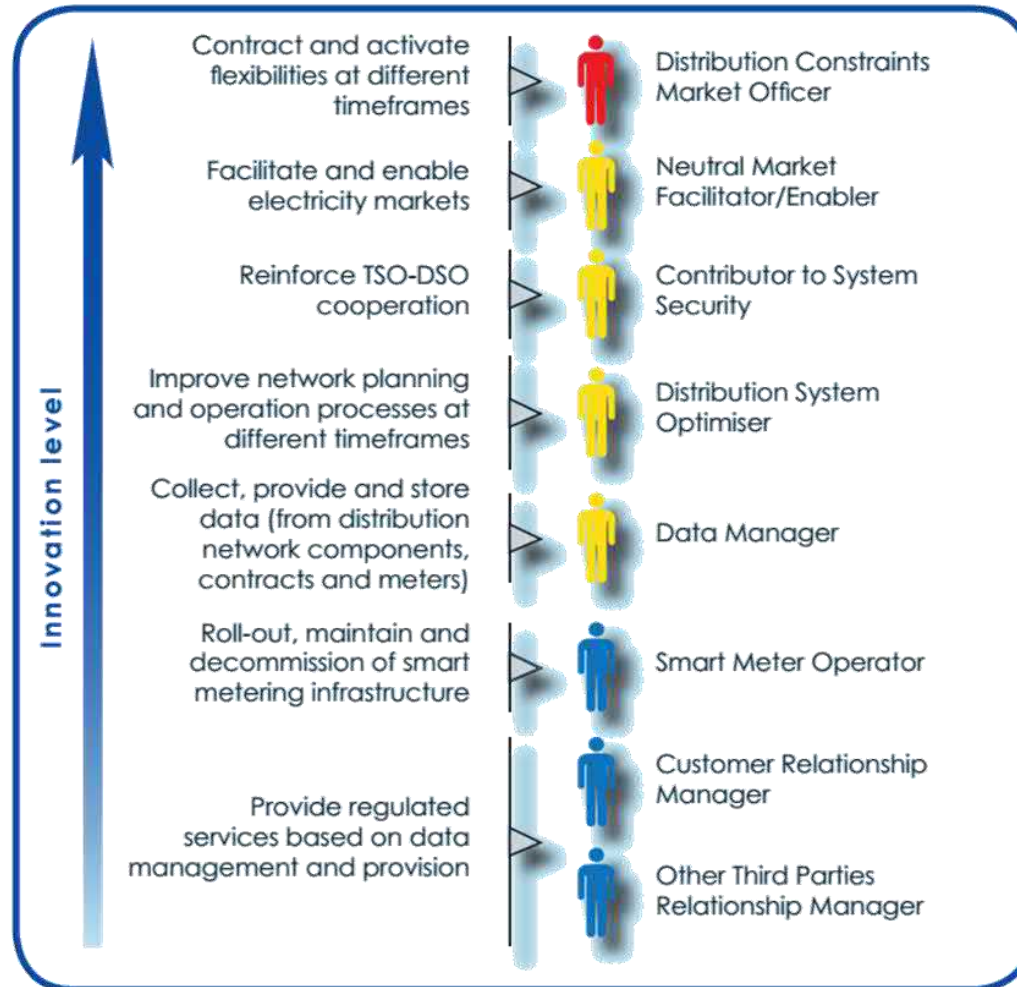
Thèse sur les protections et la qualité de fourniture des réseaux hybrides





Gestion prévisionnelle avancée

Définir les nouveaux services systèmes de demain...



... et les mécanismes de marchés adaptés



Thèse sur les nouvelles architectures de marchés locaux

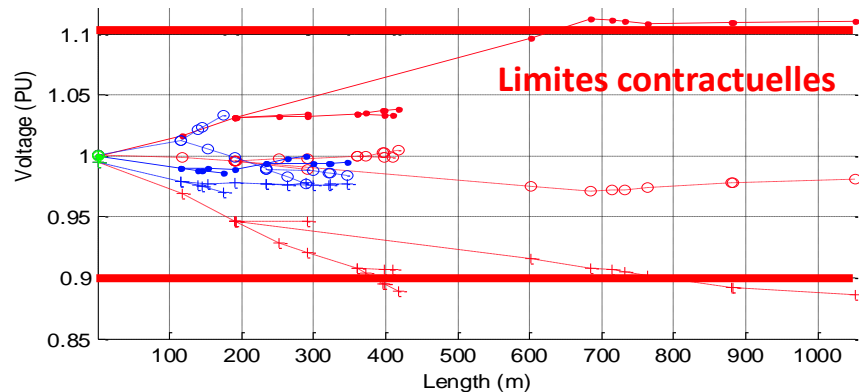


Conduire les réseaux jusqu'en basse tension

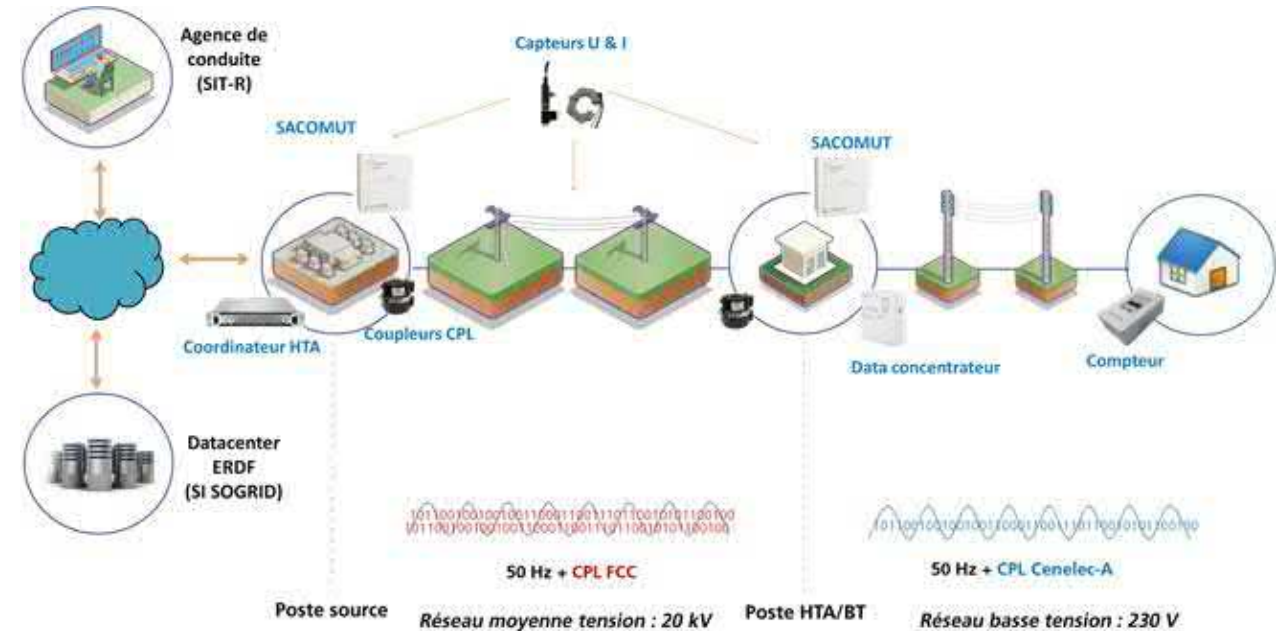


De nouvelles fonctions Smart Grid testées...

- Superviser la continuité de service
- Estimer l'état électrique du réseau



- Contrôler les flexibilités disponibles



... servies par une architecture réseau CPL HTA et BT

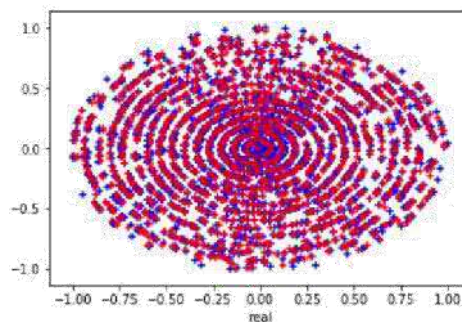
Et toujours plus de possibilités

Thèse sur l'estimation des paramètres
des réseaux de distribution BT





Harmoniques, perturbations complexes

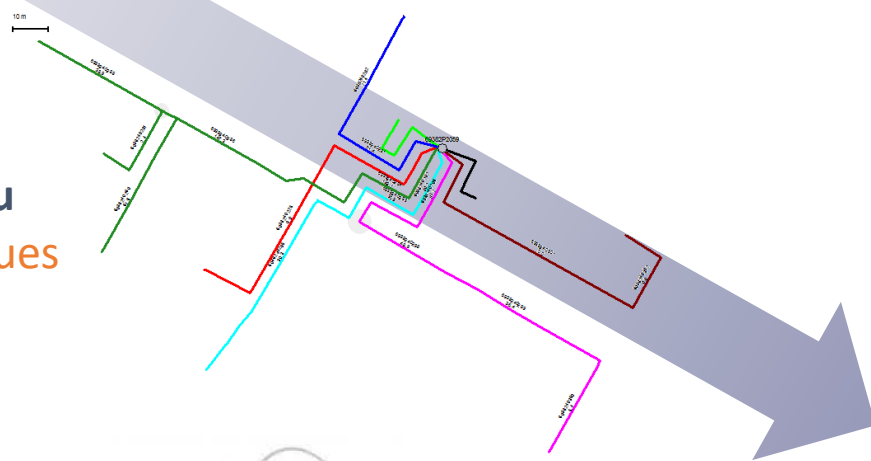


Modélisation des injections harmoniques des usages avec des techniques de machine learning

- SVr, Neural Networks, Random Forest...

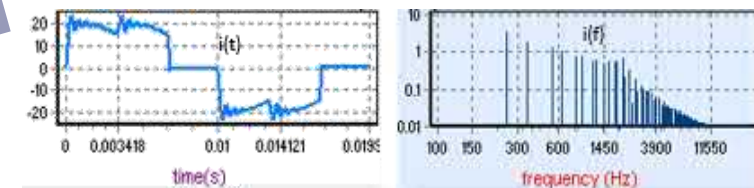
Intégration des modèles sur le réseau

- Prise en compte des problématiques de convergence



Estimation du niveau d'harmoniques

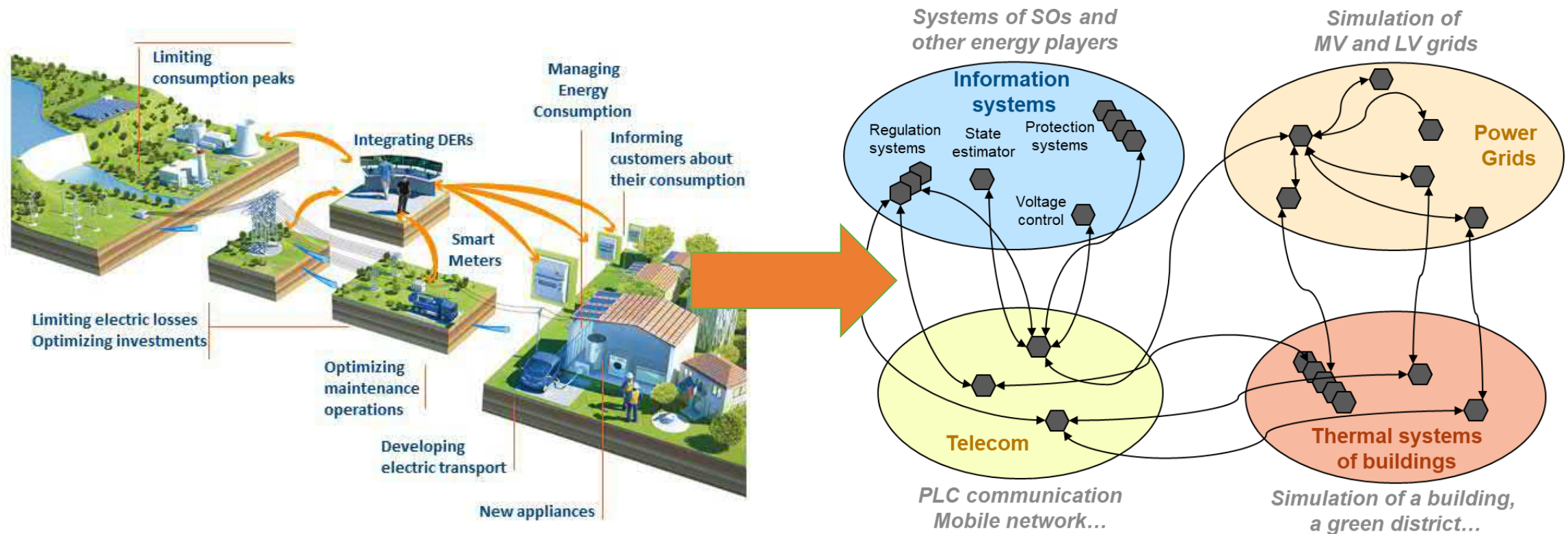
- Evaluation du foisonnement des perturbations subies et générées par les usages



Travaux en partenariat avec

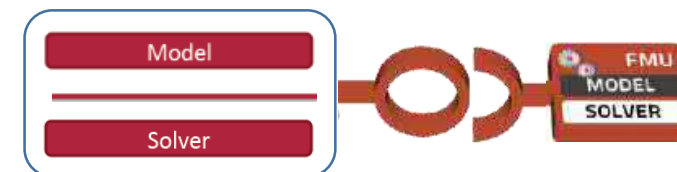


Smart Grids, systèmes multi-physiques

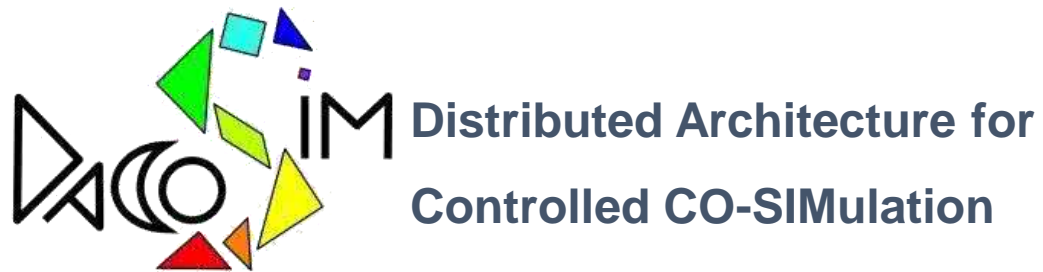


EDF promoteur du standard « FMI for Co Simulation »

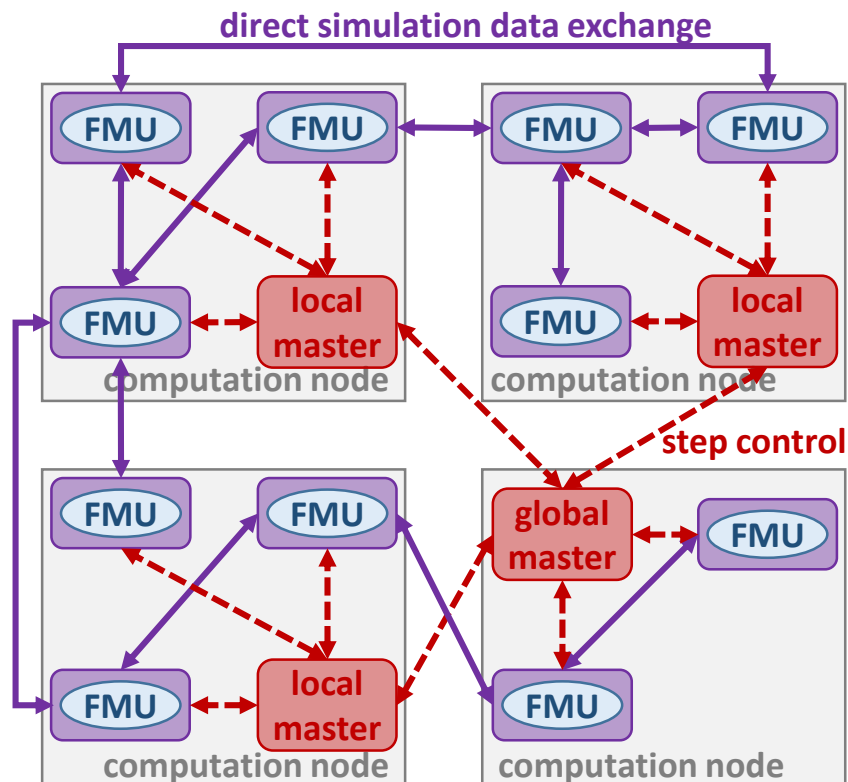
- Génération de codes exécutables de modèles
- Garantie de la protection de la propriété intellectuelle
- Adapté à la simulation à grande échelle



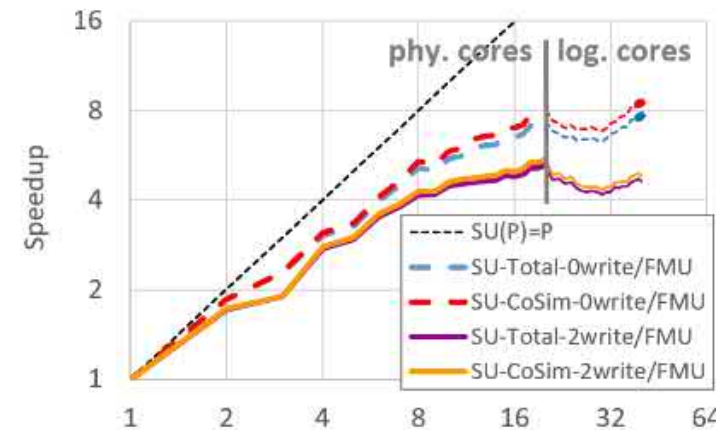
DACCOSIM, un master de co-simulation



- Exécution locale sur un PC ou un cluster HPC
- Co-initialisation d'un système complexe
- Stratégies de simulation à pas de temps constant & adaptatif
- Détection précise des instants d'apparition d'évènements



Accélération importante des calculs



Matryoshka
FMU



Travaux en partenariat avec



CentraleSupélec

Des actions de normalisation indispensables



TC 8: **Systems aspects** for electrical energy supply

TC 57 : **Power systems management** and associated information exchange

TC 59 & 61 : **Performance and safety of household**
SC 77A EMC: Low frequency phenomena (**Power Quality**)

TC 22: **Power electronic systems** and equipment (converters)
TC 23: Electrical accessories (**plugs, connectors, circuit-breakers...**)

Efficiency & safety

Use cases

Equipment

**IEC/SyC
LVDC**

Material

Appliance

TC 21: Secondary **cells & batteries**
TC 34: **Lamps** and related equipment
TC 82: **Solar photovoltaic (PV)**
TC 69: **Electric vehicles**

TC 7, 11, 20: **Electric cables**
TC 112: Qualification of **electrical insulating materials**



Propositions d'évolutions pour toujours plus d'interopérabilité entre outils et de fonctionnalités de calculs



Développer un écosystème, structurer le marché et réduire les coûts

A landscape photograph featuring several wind turbines in a field during sunset. The sky is filled with a large flock of birds in flight on the left and a tree with autumn leaves on the right. The overall scene is peaceful and scenic.

Merci !



Modeling and Control of Modular Multilevel Converters (MMCs) for HVDC Applications

Dr. Ahmed ZAMA (SuperGrid Institute)

Soirée de remise des prix IEEE PES 2019

09 Octobre 2019



Agenda

■ Introduction Générale “Contexte de la thèse”

■ Contributions scientifiques de la thèse

- Modélisation des convertisseurs MMCs

- Contrôle rapide des convertisseurs MMCs

- Validations expérimentales

■ Conclusions et perspectives

Introduction Générale “Contexte de la thèse”

■ Cette thèse est le fruit d’une collaboration entre l’entreprise SuperGrid Institute et son partenaire le laboratoire en génie électrique de Grenoble (G2Elab)

■ Pr. Seddik BACHA (G2Elab)

■ Dr. Abdelkrim BENCHAIB (SuperGrid Institute)

■ Dr. David FREY (G2Elab)

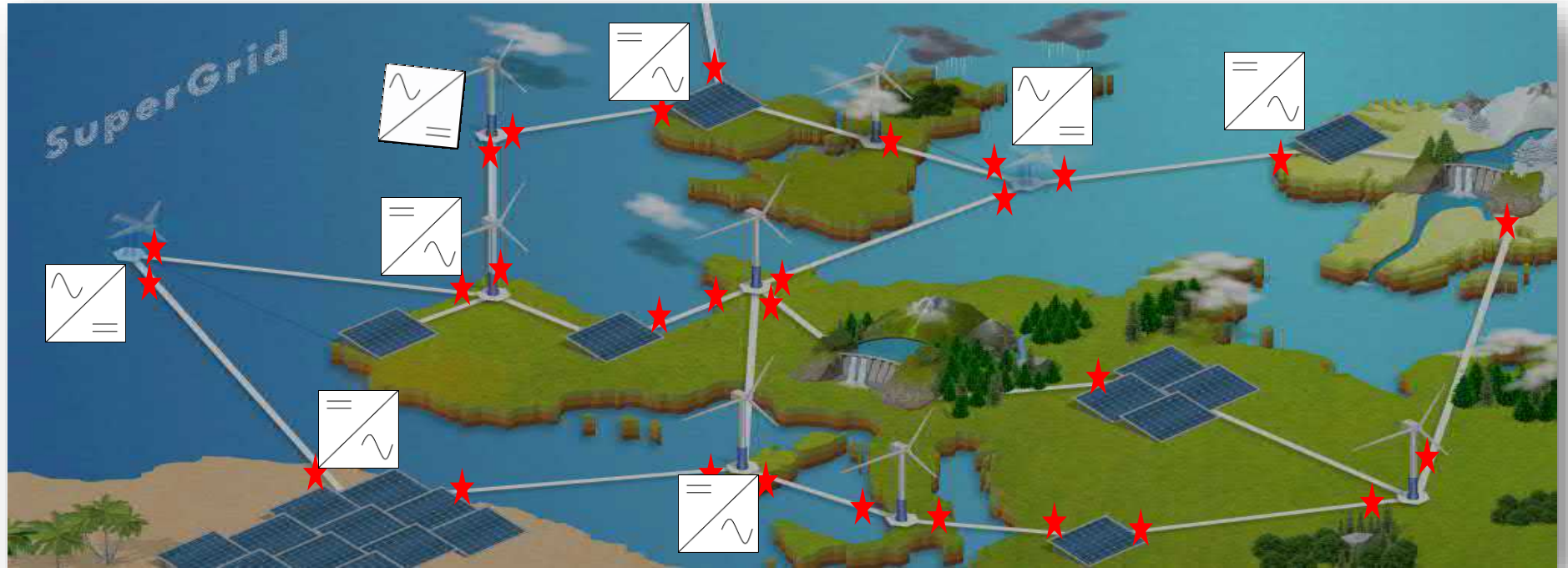
■ SuperGrid « réseau du futur »

■ Renforcement des réseaux

■ Intégration massive de sources renouvelables



Introduction Générale “Contexte de la thèse”



- Les liaisons HVDC se sont multipliées avec le déploiement de l'éolien Off Shore et des interconnexions entre les pays
- La maîtrise de systèmes hybrides HVAC/HVDC et de systèmes DC multi-terminaux reposent fortement sur le développement des convertisseurs AC/DC

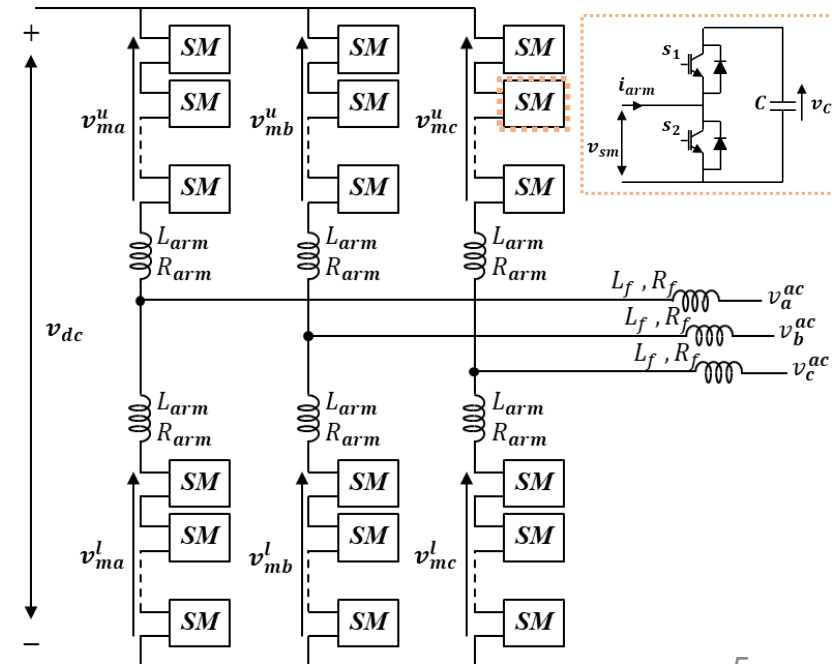
Introduction Générale “Contexte de la thèse”

Le convertisseur MMC « Modular Multilevel Converter » a beaucoup d'atouts pour les systèmes de transmission HVDC

- Facilité d'adapter la topologie aux différents niveaux de puissance et de tension
- Continuité de service en cas des pannes de composants
- Equilibrage simple des tensions des condensateurs

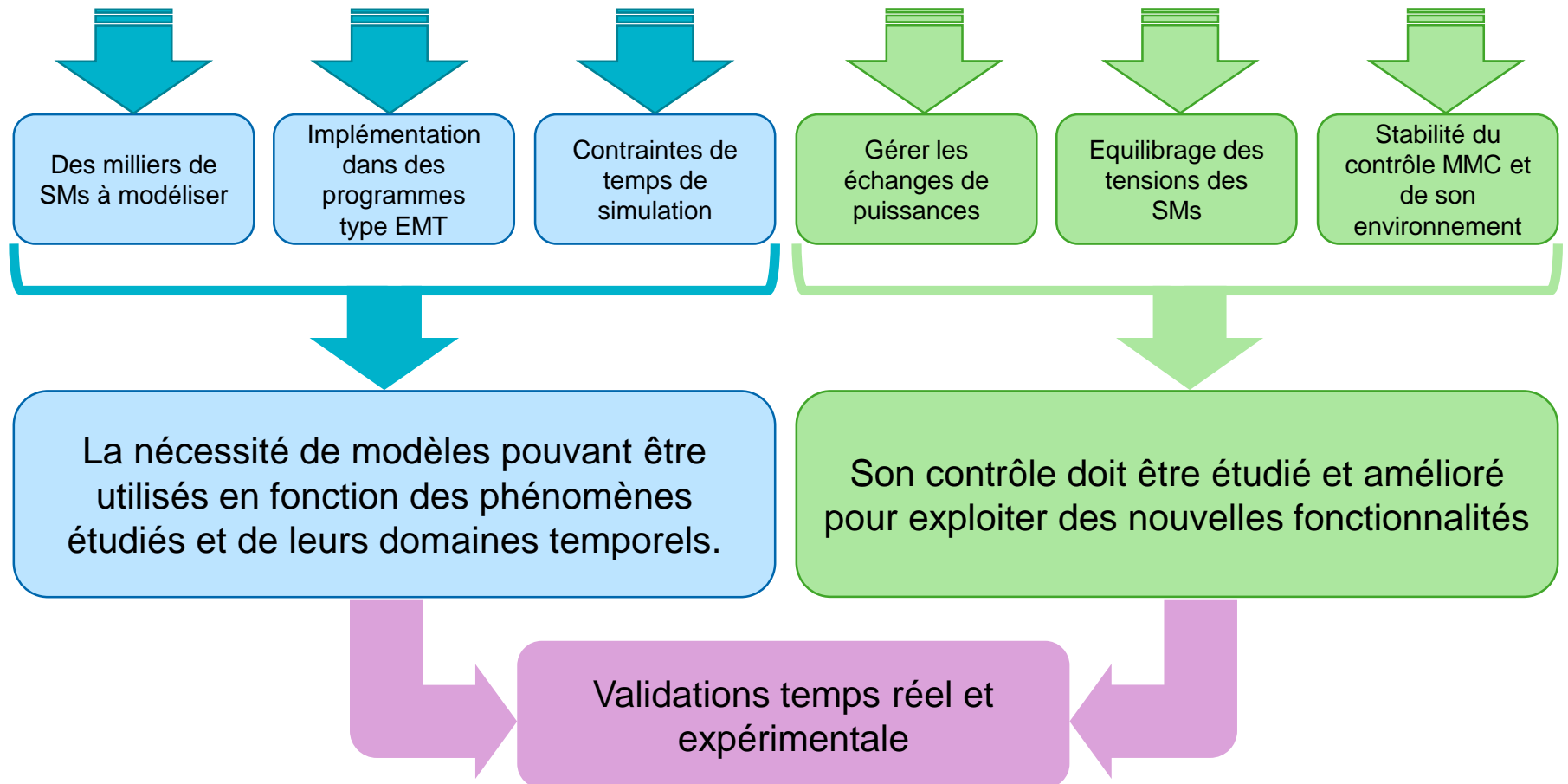
Plusieurs projets à base des MMCs ont été conçus ou en cours de construction dans le monde

- INELFE (France - Espagne, 2015)
- Savoie Piémont (France - Italie, prévu pour fin 2019)
- et plusieurs dizaines d'autre, notamment en Chine...



Introduction Générale “Contexte de la thèse”

Le convertisseur MMC est l'une des clés du développement pour les réseaux hybrides AC/DC.



Agenda

■ Introduction Générale “Contexte de la thèse”

■ **Contributions scientifiques de la thèse**

■ Modélisation des convertisseurs MMCs

■ Contrôle rapide des convertisseurs MMCs

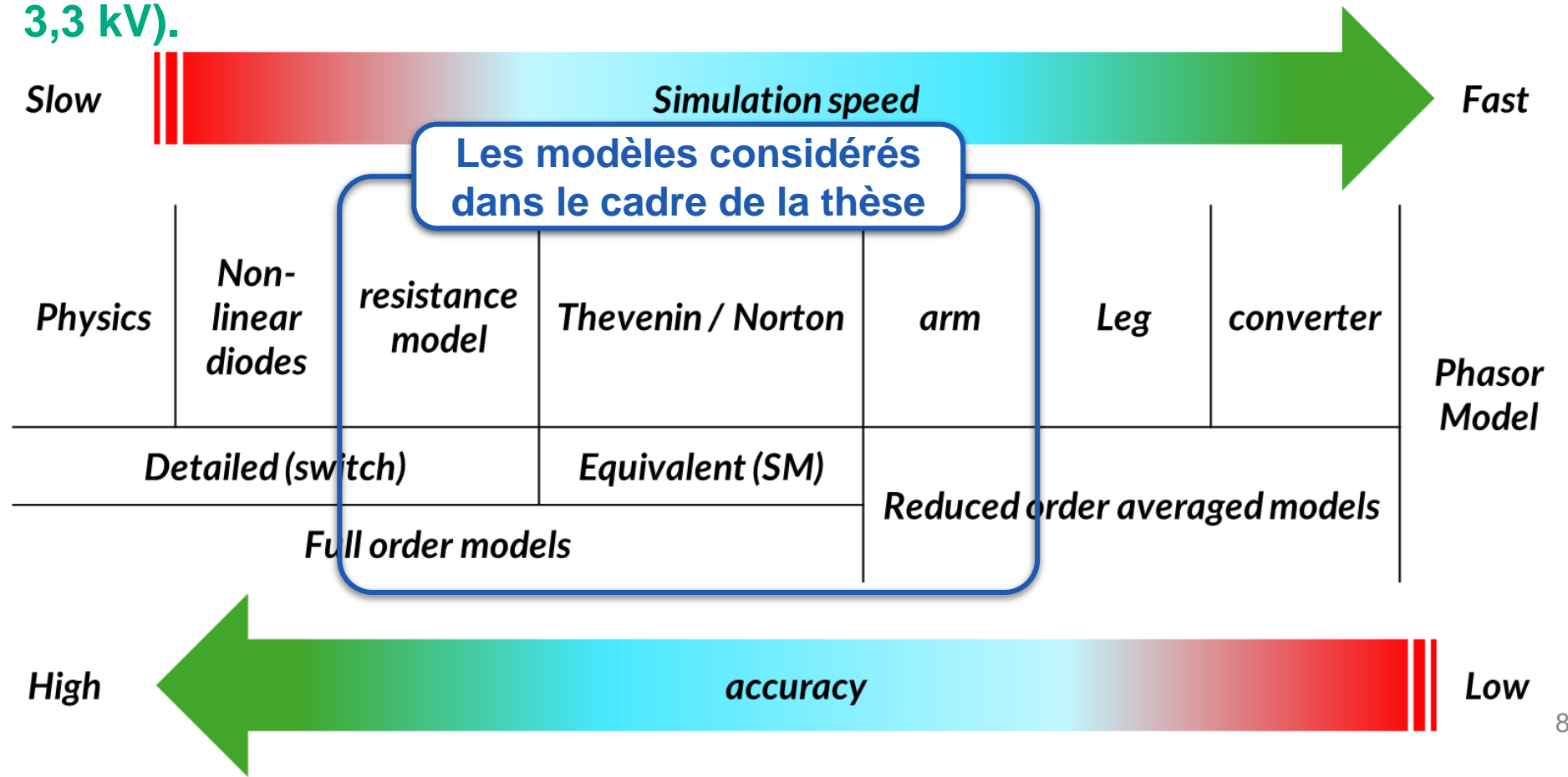
■ Validations expérimentales

■ **Conclusions et perspectives**

Contributions scientifiques de la thèse

Modélisation des convertisseurs MMCs

■ Pour une application HVDC, plusieurs SMs par bras sont utilisés (ex: 300 à 400 SMs par bras pour une tension nominale de 640 kV avec des IGBTs de 3,3 kV).

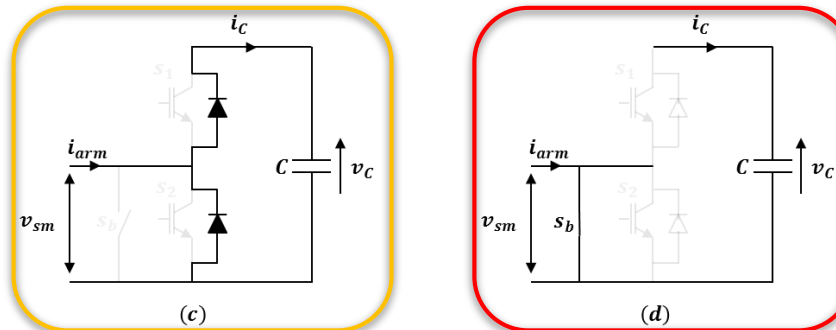
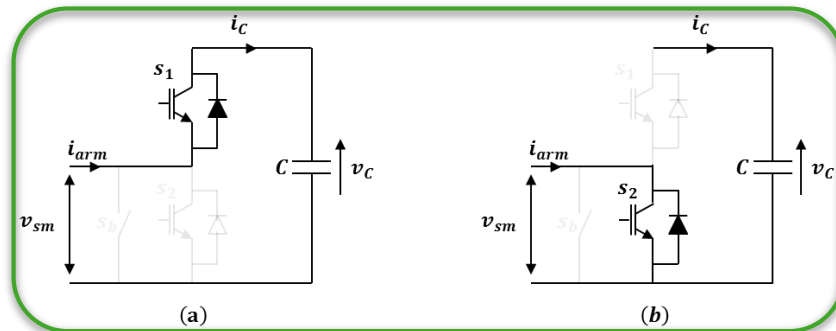


Contributions scientifiques de la thèse

Modélisation des convertisseurs MMCs

L'objectif de la thèse est de proposer des nouvelles techniques d'implémentations pour les modèles considérés afin de:

- Représenter tous les états du convertisseurs avec un modèle unique
- Faciliter leurs intégration
- Accélérer leurs temps de simulation.



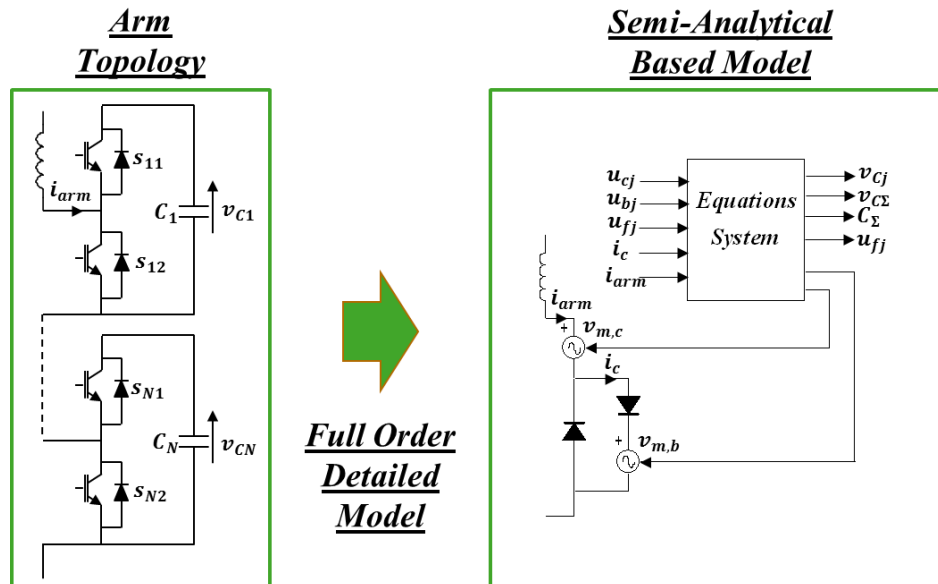
Switches states	State variables	
Inverted SM (a) ($s_1 = 1, s_2 = 0, s_b = 0$)	$v_{sm} \approx v_c$ $i_c = i_{arm}$	
Bypassed SM (b) ($s_1 = 0, s_2 = 1, s_b = 0$)	$v_{sm} \approx 0$ $v_c = cst$ $i_c = 0$	
Blocked SM (c) ($s_1 = 0, s_2 = 0, s_b = 0$)	$i_{arm} > 0$ $v_{sm} \approx v_c$ $i_c = i_{arm}$	$i_{arm} \leq 0$ $v_{sm} \approx 0$ $v_c = cst$ $i_c = 0$
Faulted / out of order SM (d) ($s_1 = 0, s_2 = 0, s_b = 1$)	$v_{sm} \approx 0$ $v_c = cst$ $i_c = 0$	

Contributions scientifiques de la thèse

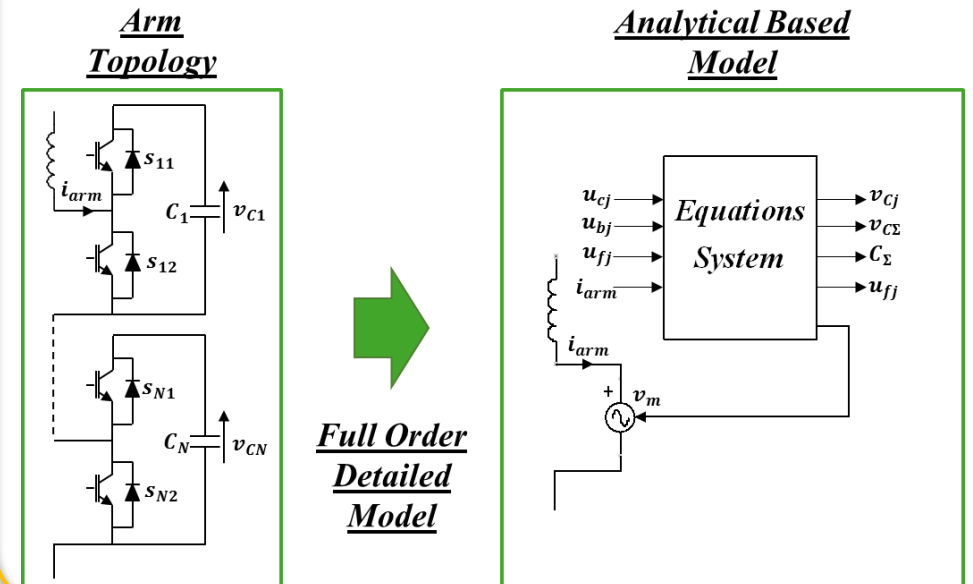
Modélisation des convertisseurs MMCs

Deux solutions ont été investiguées dans la thèse

Technique d'implémentation mixte (semi-analytique)



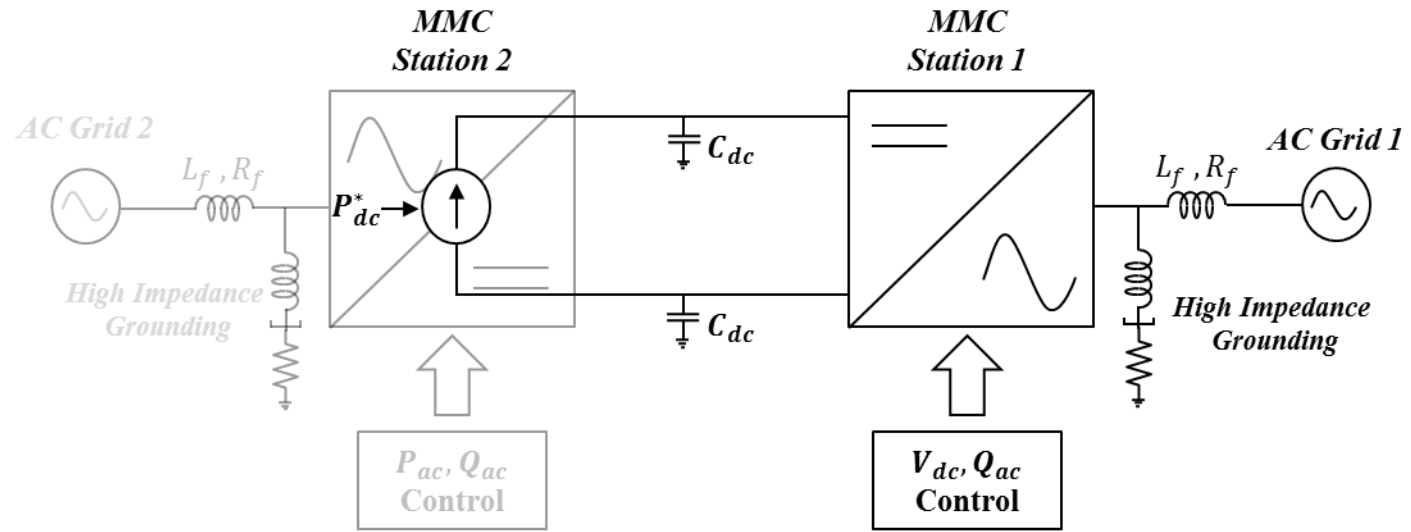
Technique d'implémentation analytique



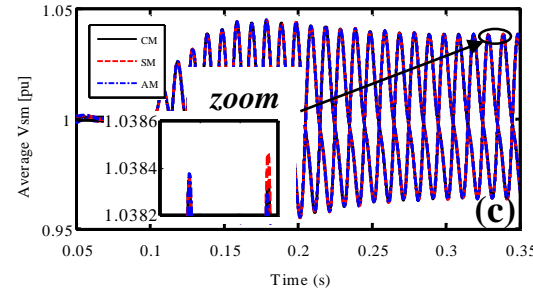
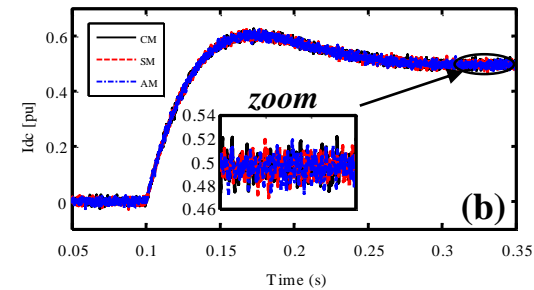
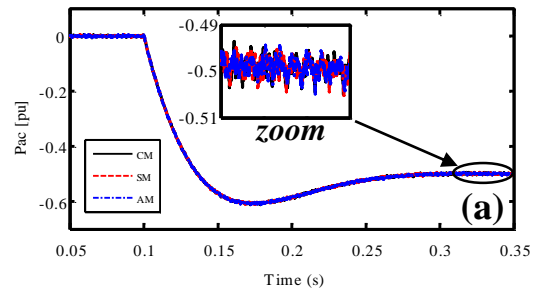
Contributions scientifiques de la thèse

Modélisation des convertisseurs MMCs

Les paramètres de la station MMC sont les mêmes que ceux disponibles dans la bibliothèque MMC EMTP-RV réduite à 40 SM.



Echelon de référence de puissance DC



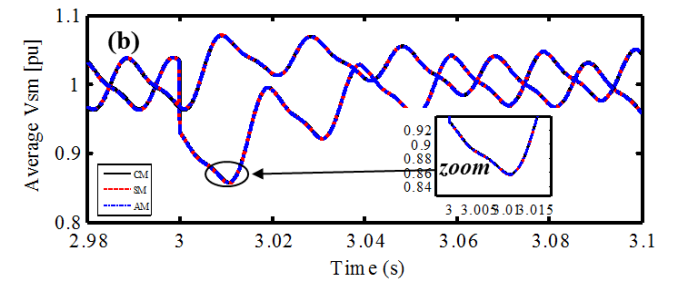
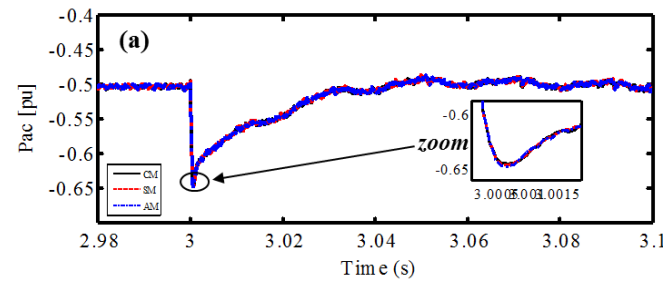
Bonne corrélation entre les deux méthodes et la référence en régime nominal...

Contributions scientifiques de la thèse

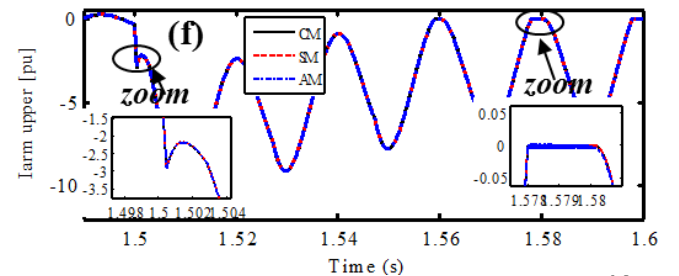
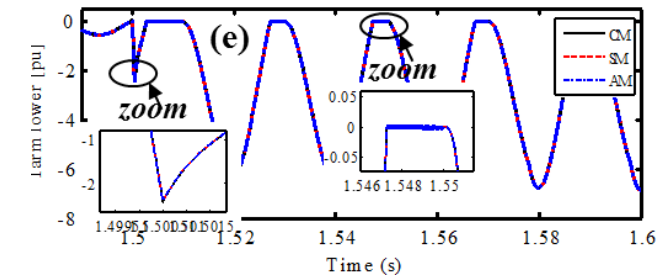
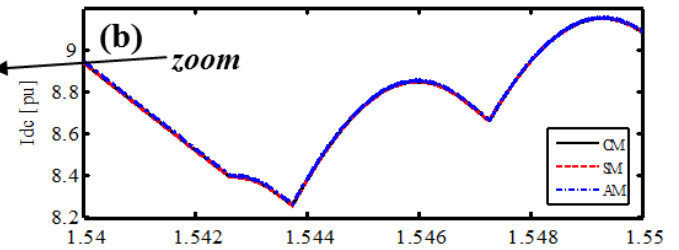
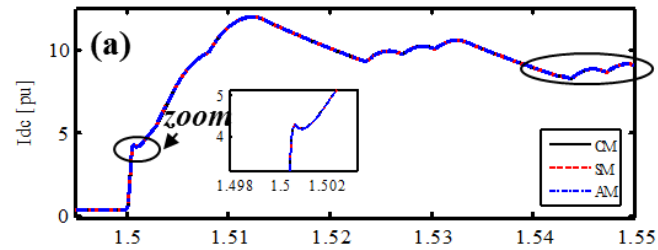
Modélisation des convertisseurs MMCs

... et en cas de défauts internes ou externes

■ Perte de 10% des SMs dans un bras



■ DC Pole-to-Pole fault



Contributions scientifiques de la thèse

Modélisation des convertisseurs MMCs

... pour un temps de simulation bien moindre

	<i>Detailed Model</i>			<i>Equivalent Model</i>			<i>Averaged Model</i>		
<i>Number of SM</i>	400	100	40	400	100	40	400	100	40
<i>Benchmark (Circuit) model</i>	2100 s	308 s	160 s	/	/	/	/	/	/
<i>Semi-analytical</i>	87 s	38 s	18 s	85 s	33 s	17 s	12 s	12 s	12 s
<i>Analytical</i>	70 s	24 s	15 s	69 s	22 s	15 s	9 s	9 s	9 s

Agenda

■ Introduction Générale “Contexte de la thèse”

■ **Contributions scientifiques de la thèse**

■ Modélisation des convertisseurs MMCs

■ Contrôle rapide des convertisseurs MMCs

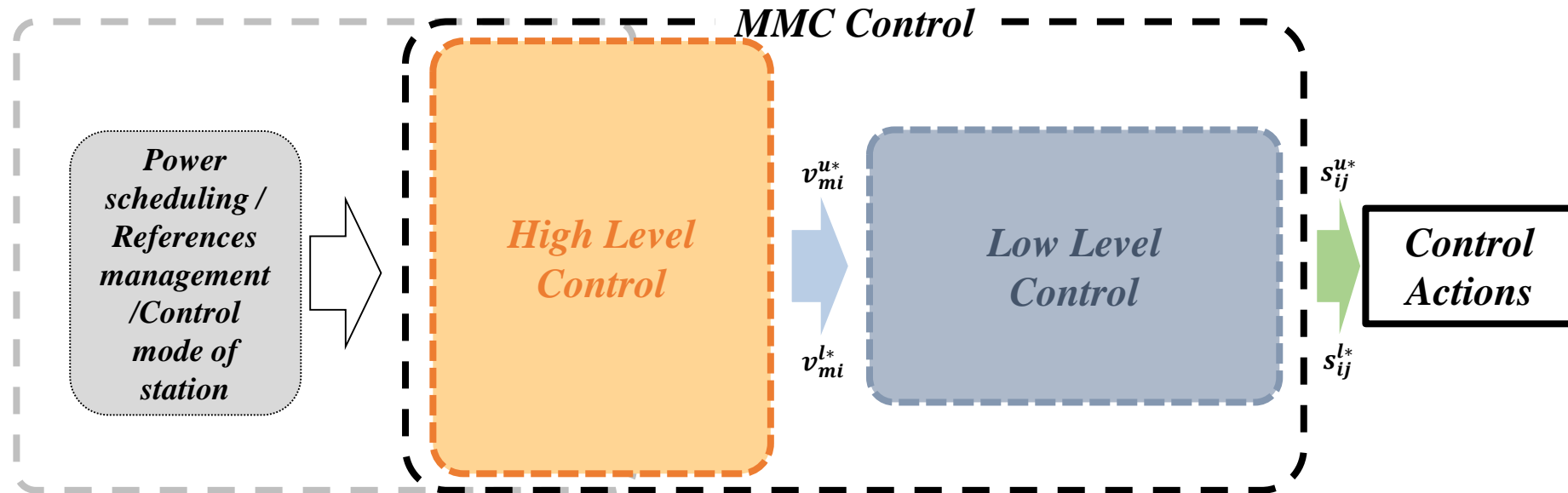
■ Validations expérimentales

■ **Conclusions et perspectives**

Contributions scientifiques de la thèse

Contrôle des convertisseurs MMCs

Structure de contrôle des MMCs « État de l'art »



L'objectif de la thèse en terme de contrôle c'est d'exploiter les nouveaux degrés de libertés du MMC

Contributions scientifiques de la thèse

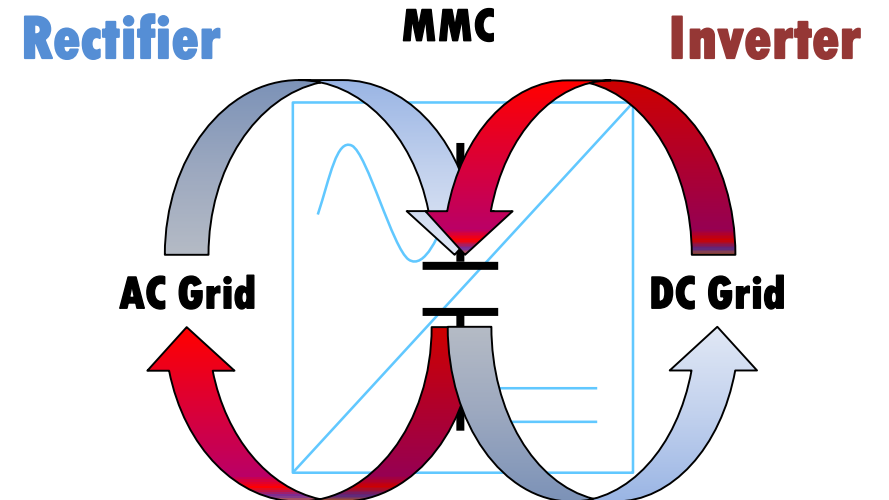
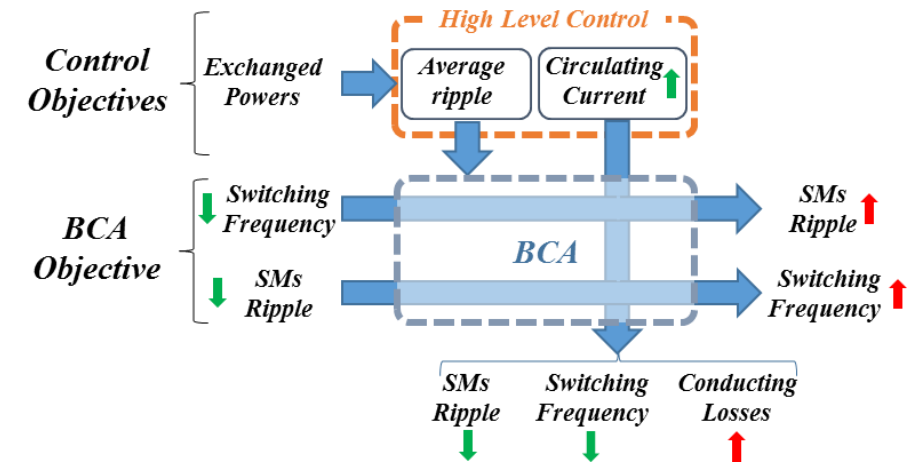
Contrôle des convertisseurs MMCs

Low level control

- Equilibrer les tensions des condensateurs des SMs.

High level control

- Assurer le bon échange de puissance entre les réseaux AC et DC.



Contributions scientifiques de la thèse

Contrôle des convertisseurs MMCs

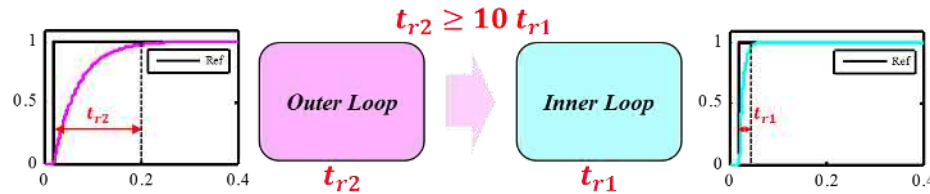
■ Deux structures de contrôle peuvent être utilisées pour contrôler le MMC

■ Multiple Inputs Multiple Outputs (MIMO)

- ✓ Même temps de réponse pour toutes les variables
- x Problème de stabilité
- x Le débogage est compliqué lorsque des instabilités se produisent

■ Contrôle en cascade

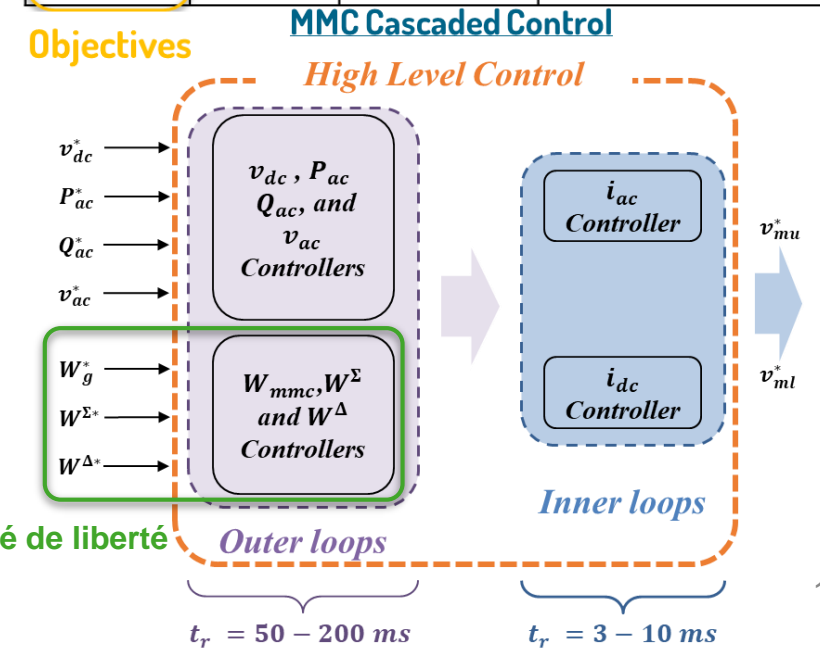
✓ Un contrôle stable très utilisé dans l'industrie.



MMC state-space equations

Control objectives	State variables	Control inputs	State space equations
AC powers	i_{ac}	$v_{mi}^{ac} = \frac{v_{mi}^l + v_{mi}^u}{2}$	$L_{eq} \frac{di_i^{ac}}{dt} = -R_{eq} i_i^{ac} + v_{mi}^{ac} - v_i^{ac}$
DC power	i_{dc}	$v_{mi}^{dc} = v_{mi}^u - v_{mi}^l$	$L_{eq} \frac{di_i^{dc}}{dt} = -R_{eq} i_i^{dc} - v_{mi}^{dc} + v_{dc}$
Energy global	W_{mmc}	i_{ac} or i_{dc}	$\frac{dW_{mmc}}{dt} = v_{dc} i_{dc} - \sum_{i=a}^c v_i^{ac} i_i^{ac}$
Energy Sum (leg)	W_i^Σ	i_i^{ac} or i_i^{dc}	$\frac{dW_i^\Sigma}{dt} = v_{mi}^{dc} i_i^{dc} - v_{mi}^{ac} i_i^{ac}$
Energy diff	W_i^Δ	i_i^{dc}	$\frac{dW_i^\Delta}{dt} = 2 v_{mi}^{ac} i_i^{dc} - \frac{v_{mi}^{dc}}{2} i_i^{ac}$

Actions



$t_r = 50 - 200 \text{ ms}$ $t_r = 3 - 10 \text{ ms}$

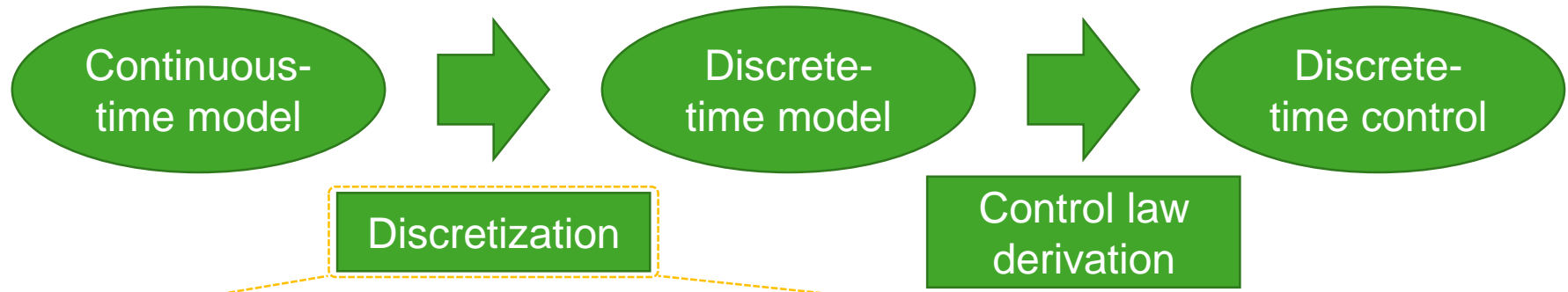
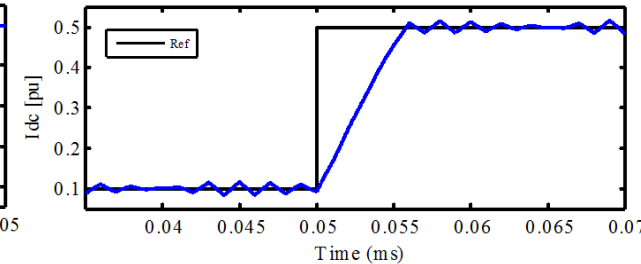
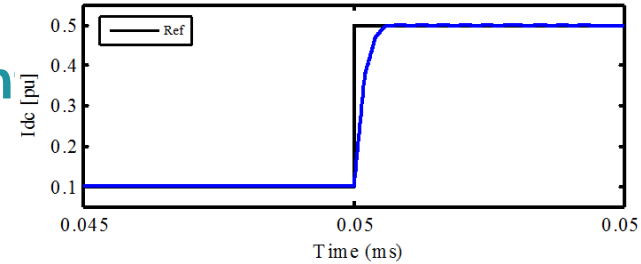
Contributions scientifiques de la thèse

Contrôle des convertisseurs MMCs

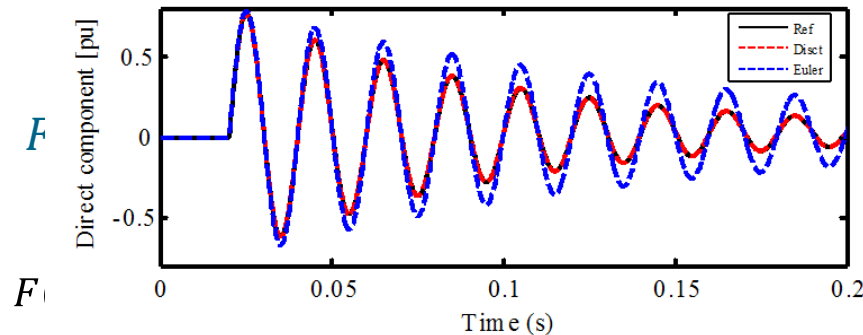
■ **Commande par mode glissant**

■ Impact de la période d'échantillonnage du contrôleur

■ **Modélisation exacte en temps discret**



Where:



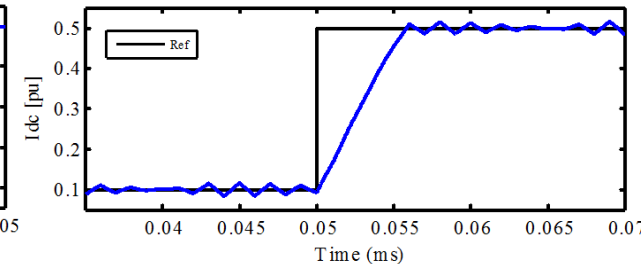
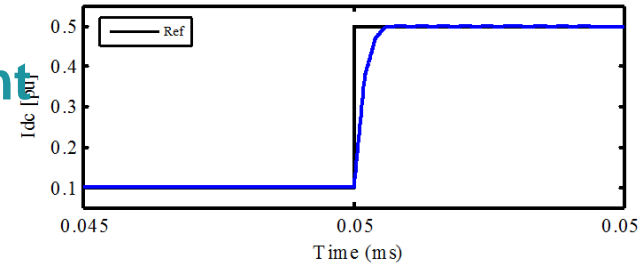
$$T - I)B$$

Contributions scientifiques de la thèse

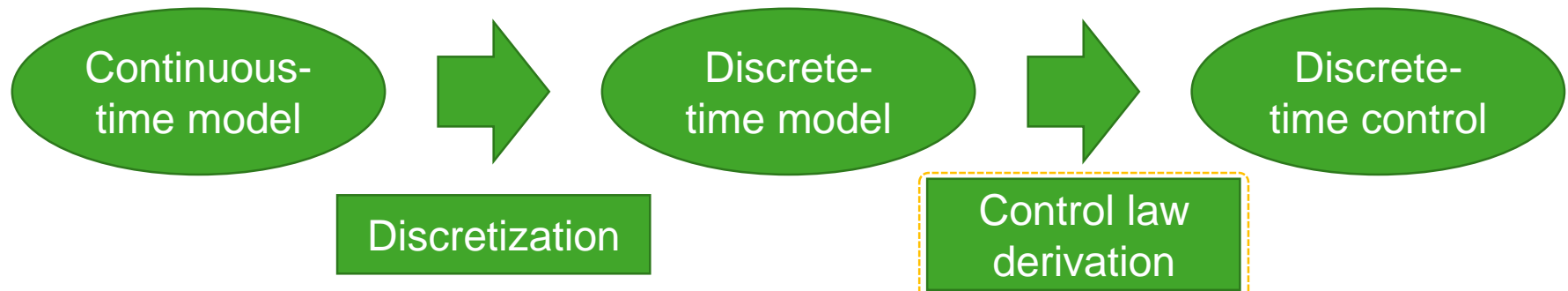
Contrôle des convertisseurs MMCs

■ Commande par mode glissant

- Impact de la période d'échantillonnage du contrôleur



■ Modélisation exacte en temps discret



■ Deux lois de commandes ont été développées et testées dans la thèse:

- Commande par placement des pôles
- Commande par mode glissant en temps discret

Agenda

■ Introduction Générale “Contexte de la thèse”

■ **Contributions scientifiques de la thèse**

■ Modélisation des convertisseurs MMCs

■ Contrôle rapide des convertisseurs MMCs

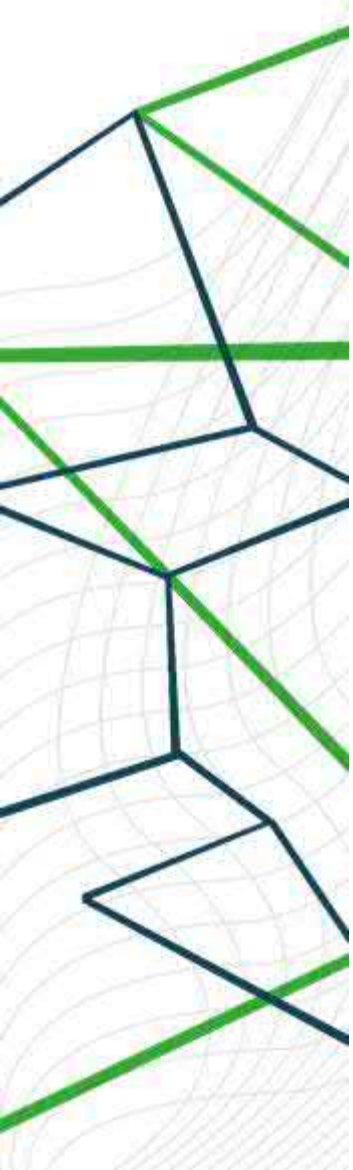
■ Validations expérimentales

■ **Conclusions et perspectives**

Contributions scientifiques de la thèse

Validations expérimentales

- Une plateforme de simulation temps réel a été développée durant la thèse afin de valider les résultats obtenus
 - En simulation temps réel (HIL) pour les modèles développés
 - En validation RCP/PHIL pour les lois de commandes obtenues.



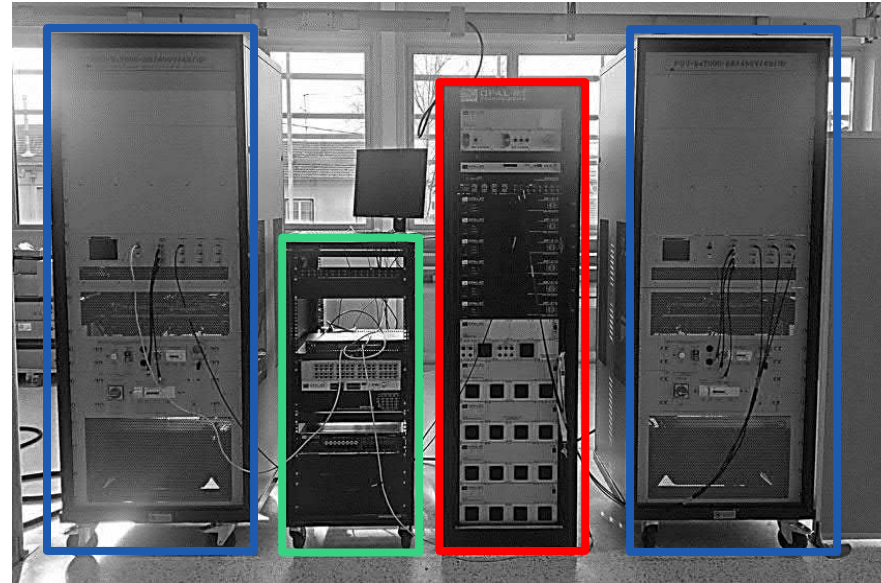
Contributions scientifiques de la thèse

Validations expérimentales

■ Deux amplificateurs:

- Amplificateurs de technologie linéaire
- Quatre quadrants configurable en modes AC & DC

Nominal Power		21 kVA 4Q
Voltage	Dynamics	~ 20 μ s
	Bandwidth	100~150 kHz
Current	Dynamics	30-50 μ s
	Bandwidth	15 kHz



■ Simulateur temps réel

- Simulateur OP5700 de Opal-rt
- Logiciel Hypersim
- 32 cœurs disponibles

■ Maquette MMC

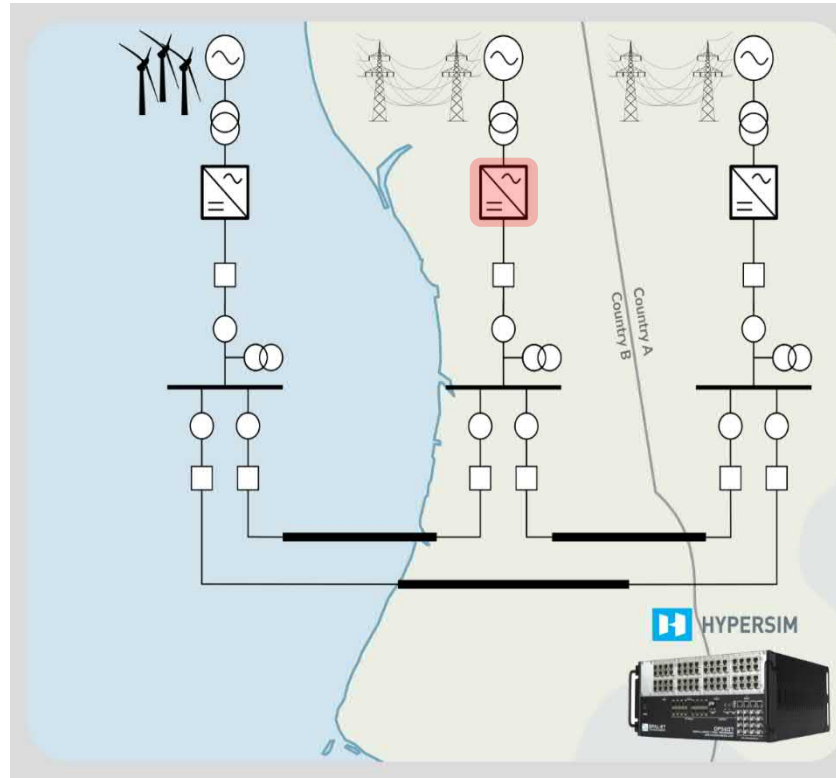
- Une structure modulaire qui peut être adaptée à d'autres topologies.
- Une dynamique proche au celle d'un MMC réel
- Interface de communication avec le contrôleur (gestion des I/Os)

Rated Power	6 kW
Rated DC voltage	400 V (pole to pole)
Rated AC voltage	208 V (rms line to line)
Number of SMs per am	10
SM capacitance	4, 92 mF
Arm inductance/resistance	6 mH / 35 mOhm
AC filter inductance/ resistance	5 mH / 26 mOhm

Contributions scientifiques de la thèse

Validations expérimentales

Cas d'étude : un réseau multi-terminal (MTDC) avec trois stations.



Experimental setup

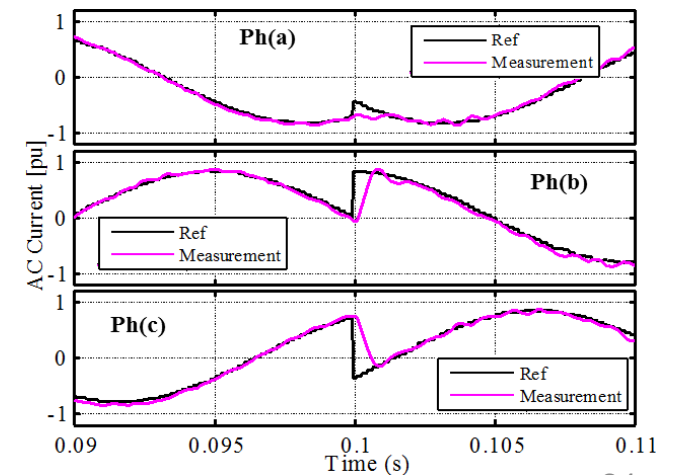
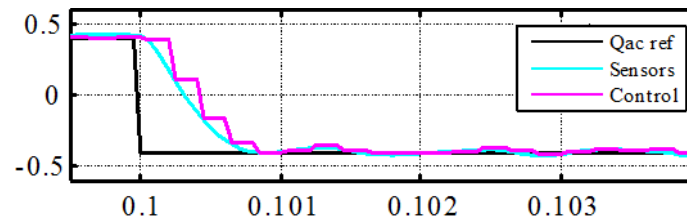
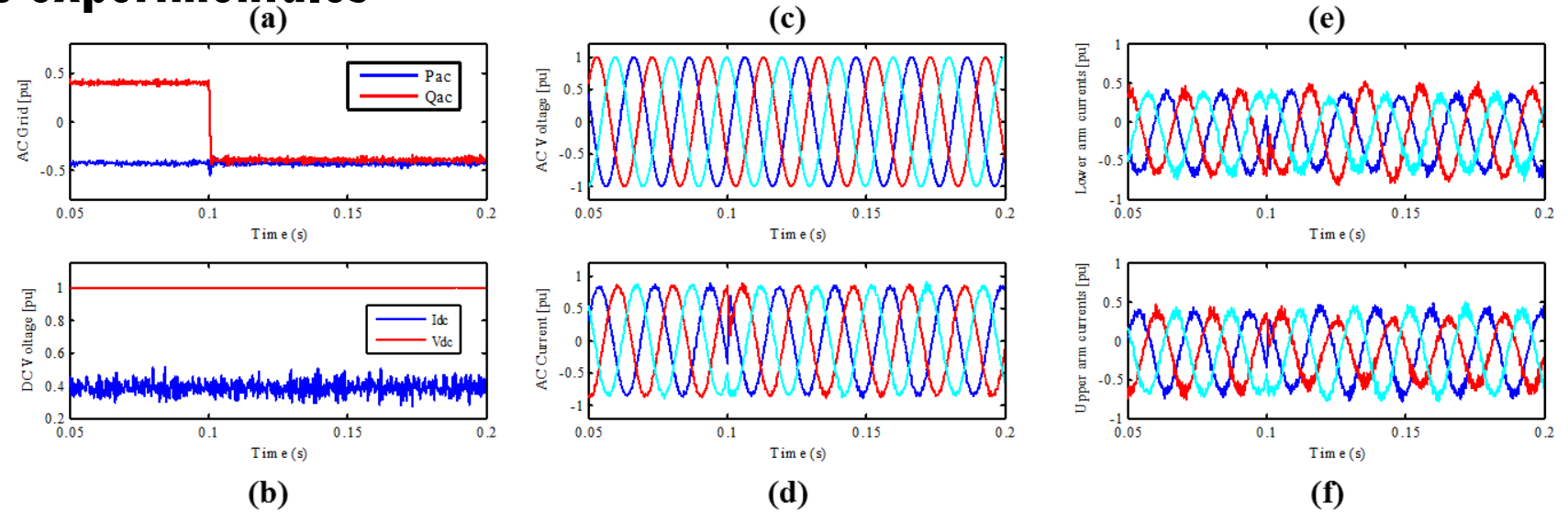


Contributions scientifiques de la thèse

Validations expérimentales

Echelon sur la référence de la puissance réactive

Zoom sur les résultats obtenus

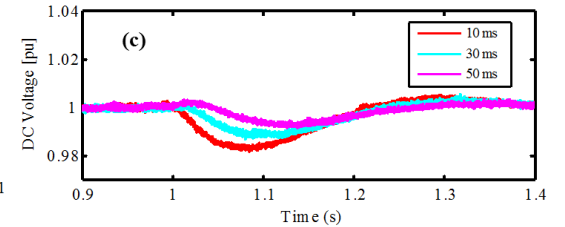
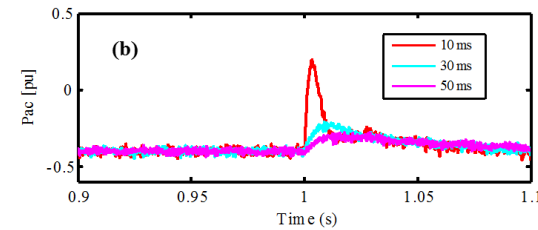
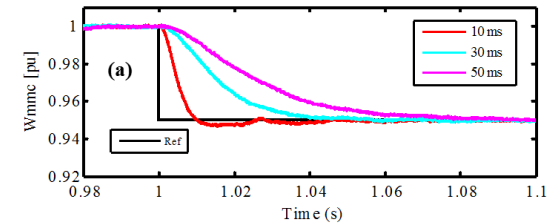


Contributions scientifiques de la thèse

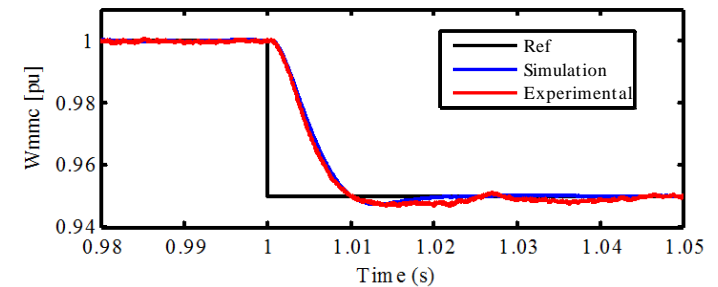
Validations expérimentales

Echelon sur la référence de la énergie

Grâce à la réponse rapide des boucles de courant, le temps de réponse de la boucle d'énergie peut être réduit à 10 ms.

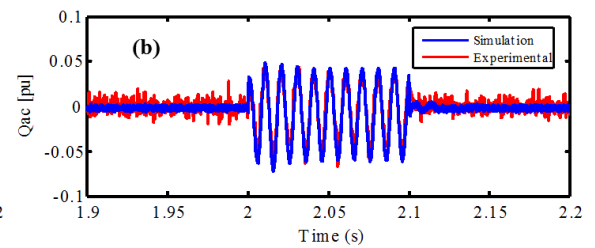
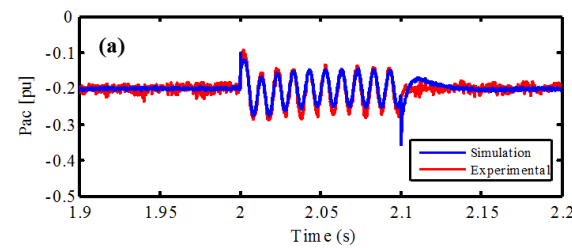


Echelon sur la référence de la énergie



Bonne corrélation entre les résultats de simulations et les résultats expérimentaux.

Défaut biphasé



Agenda

■ Introduction Générale “Contexte de la thèse”

■ Contributions scientifiques de la thèse

■ Modélisation des convertisseurs MMCs

■ Contrôle rapide des convertisseurs MMCs

■ Validations expérimentales

■ **Conclusions et perspectives**

Contributions scientifiques de la thèse

Conclusions et perspectives

■ Cette thèse traite différentes problématiques relatives aux convertisseurs modulaires multiniveaux (MMCs).

1) Modélisation

- Améliorer les modèles existants.
- Proposer des nouvelles techniques d'implémentations

2) Contrôle

- Accélérer le temps de réponse des contrôleurs de courant.
- Assurer la stabilité du contrôle avec de telles dynamiques
- Atténuer l'impact de certains défauts externes

3) Validations expérimentales

- Développer une plateforme de simulation temps réel.
- Valider les résultats obtenus en HIL et PHIL.

■ Les contributions scientifiques de cette thèse ont abouti à :

- 3 brevets
- 3 revues scientifiques dont une est en phase finale d'acceptation
- 7 papiers de conférences

Contributions scientifiques de la thèse

Conclusions et perspectives

■ Pour aller au-delà des travaux proposés dans cette thèse, plusieurs thèmes de recherche peuvent être déployés :

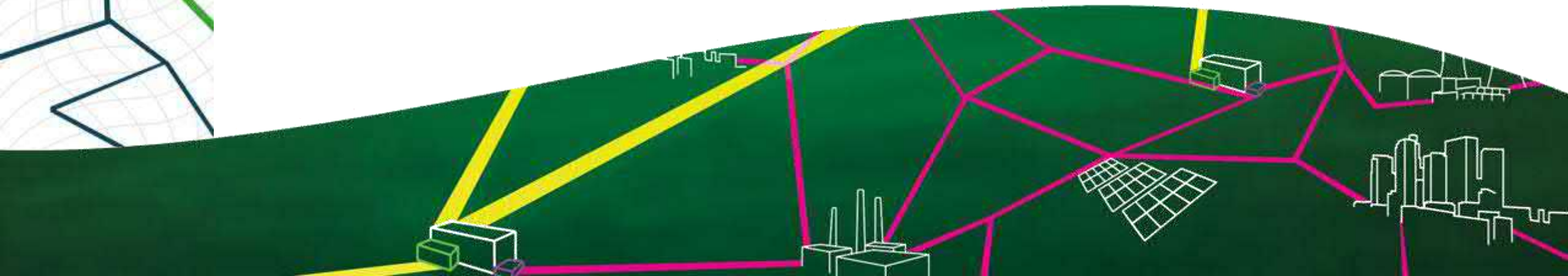
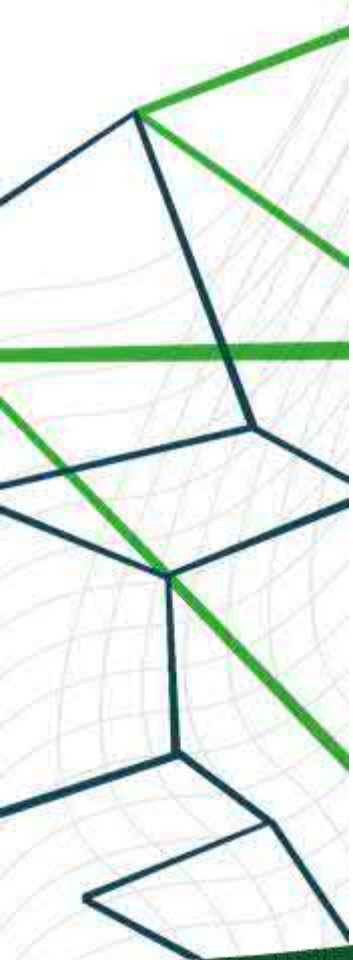
1) Modélisation et contrôle

- Appliquer les méthodologies proposées de modélisation et de contrôle pour d'autres topologies MMC, telles que Full Bridge (FB), Double-Clamped, Alternate Arm Converter, convertisseur DC/DC à base de MMC...
- Considérer les limites structurelles à priori dans la synthèse des lois de contrôle afin de bien maîtriser la réponse dynamique du MMC.

2) MMC avec son environnement réseau

- Considérer la dynamique du réseau AC en particulier dans le cas des réseaux faibles

Merci pour votre attention



Olivier Borne : (Missing)
Services de flexibilité apportés par
le Vehicle-To-Grid

Reduction of an electrical power system model for techno-economic studies

Nuno Marinho

Group of electrical engineering, Paris – GeePs
CentraleSupélec
EDF R&D

IEEE PES France
9/10/2019

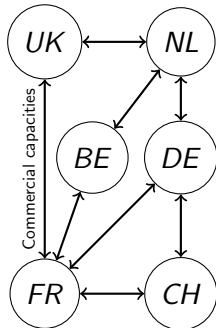


Reduce electrical power systems, why?



Physical

<https://www.entsoe.eu/data/map/>



Commercial

Two different network visions

Reduce electrical power systems, why?

Unit Commitment (Market model)

$$F(u, p) = \sum_{t=1}^T \sum_{i=1}^I FC_i(p_i^t, u_i^t) + \sum_{t=1}^T \sum_{i=1}^I SC_i(u_i^t)$$

- The problem determines the operation schedule of the generating units at every market time unit
- Mixed integer linear problem \rightarrow NP-hard
- Usually does not take into account network constraints
- Even with simplified models can take up to 40h of simulation

Reduce electrical power systems, why?

Network model



→ Benchmark network model: 2842 buses, 1820 generators and 3739 branches.

→ Twelve areas: FR, BE, NL, DE, AT, CH, IT, SL, PL, CZ, SK and DK

Reduce electrical power systems, why?

Are network constraints that important?

- Country with large capacities of wind power in the north and most consumption centers in the south
- No network constraints
 - Both producers and consumers are connected in copper plate approach
- Considering network constraints
 - Bottleneck between north and south



Problem statement

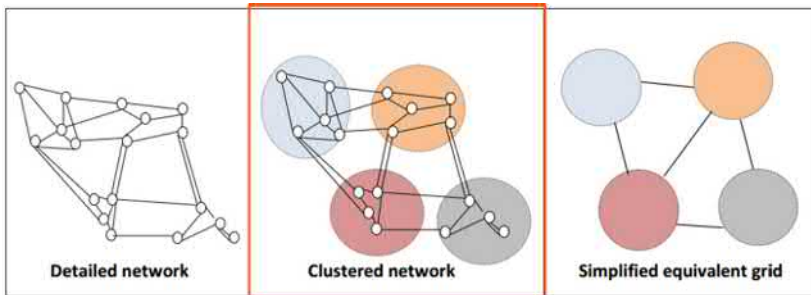
How to integrate a network model into an UC problem?

Answer: Define a reduced network model...

How to define a reduced network model, while minimizing information loss?

Work plan

Cluster → Connect → Define limits



Source: e-Highway2050 report D 2.2

Are there other clustering approaches?

Multiple approaches proposed in the literature, we focus on three of the most promising:

- K-means using LMPs and geographical coordinates;
- Hierarchical using only LMPs;
- K-medoids using electrical distance and geographical coordinates.

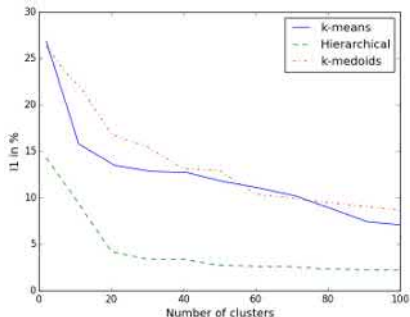
Why Locational Marginal Prices (LMP)?

Economical indicator gives an insight about the network physics.

Which approach suits best our interest?

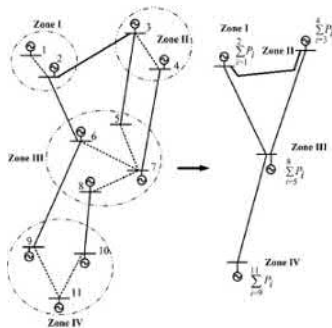
We propose an **evaluation framework based on the redispatch effort.**

Clustering network buses



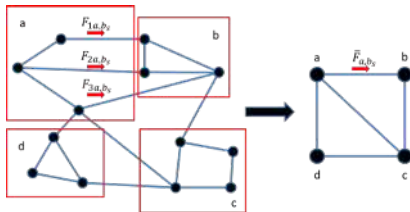
- The algorithms are tested using different scenarios (different load and renewables production);
- Slow progression after the first 50 zones;
- Hierarchical + LMP the most efficient, k-means + LMP + coordinates and k-medoids + electrical distance + coordinates show the same trend.

Representing power flows



- After the clustering, the same level of injected power should correspond to the same branches' power flows;
- Frequently in the literature, a representation using **PTDF matrix** is preferred.

Representing power flows



$$\min\{\Psi_r, f^0\} (F_{l,s} - \bar{F}_{\bar{l},s})^2$$

s.t.

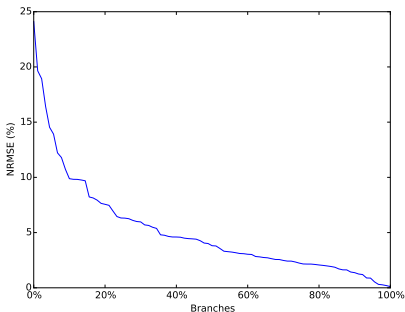
$$\forall s \in S_T, \forall \bar{l} \in \bar{L} \quad \bar{F}_{\bar{l},s} = \sum_{\bar{n}=1}^{\bar{N}} \Psi_{\bar{l},\bar{n}} \times P_{\bar{n},s}^{inj} + f_{\bar{l}}^0$$

$$\forall \bar{n} \in \bar{N}, \forall \bar{l} \in \bar{L} \quad |\Psi_{\bar{l},\bar{n}}| \leq 1$$

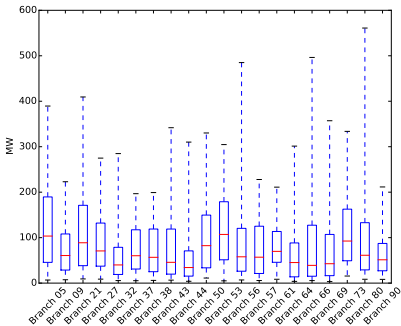
Variables

- Ψ_r is the PTDF matrix of dimension $\bar{L} \times \bar{N}$;
- $\bar{F}_{\bar{l},s}$ is the estimated power flow in branch \bar{l} for scenario s ;
- $f_{\bar{l}}^0$ is the power flow's estimated error in branch \bar{l} due to the aggregation of generation, denominated loop flows.

Representing power flows



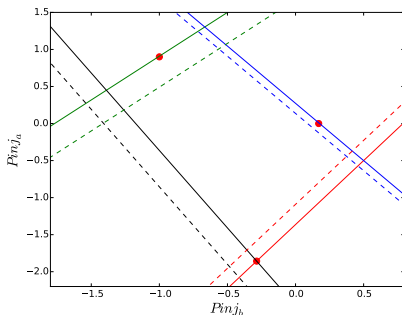
$$NRMSE_{\bar{I}} = \frac{RMSE_{\bar{I}}}{\text{avg } \bar{I}} \times 100$$



$$e_{I,s}^{abs} = |F_{I,s} - \bar{F}_{I,s}|$$

Filter $RMSE \geq 100MW$

Setting operational limits

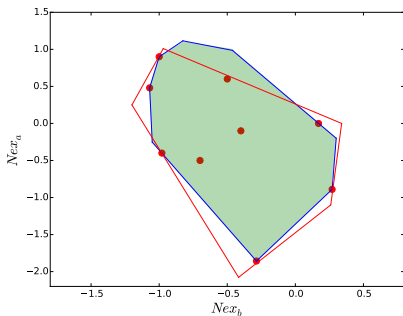


Adjust the original domain (dotted lines) so all the historical operating points (red dots) are inside the adjusted domain (solid lines)

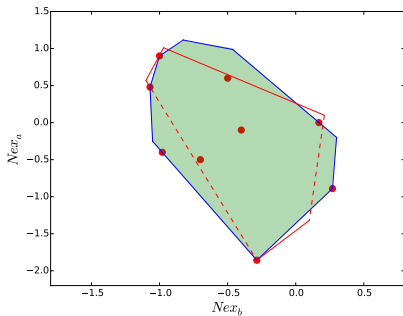
$$\|P_a^{inj} \times \Psi_l^a + P_b^{inj} \times \Psi_l^b + P_c^{inj} \times \Psi_l^c\| \leq F_l^{max}$$

Setting operational limits

In a (bit) more complex system



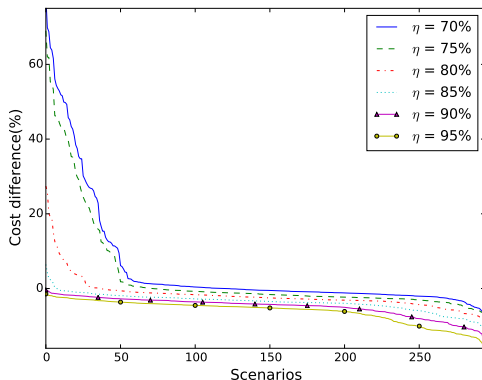
Reduced model domain in red



Reduced model domain excluding
some operating points

η : only a given percentile of operating set-points are taken by the reduced model domain.

Setting operational limits



$$\text{Cost difference} = \frac{\text{Cost}_{\text{reduced}} - \text{Cost}_{\text{full}}}{\text{Cost}_{\text{full}}} \times 100$$

Cost difference ≥ 0 : Reduced system more expensive

Conclusions

- Hierarchical clustering (using LMP as metrics) outperforms k-means (using LMPs and geographic coordinates) and k-medoids (using electrical distance and geographic coordinates) in a multi-scenario analysis and also that after 50 clusters, the trade-off between accuracy and model simplification is less interesting;
- PTDF matrix optimized using different operating scenarios improves its robustness;
- Approaching the full system's domain one can characterize the connection between clusters and estimate their maximum transmission capacity;
- The proposed methodology allows to define a reduced system that can represent the full system's main features.

Contributions

- A framework to rank clustering methodologies. This approach can also be used in a market environment to assess the adequacy of the bidding zone definition;
- A methodology to estimate a multi-scenario fitted PTDF matrix improving its robustness for different operating conditions;
- A methodology to represent the full system's steady-state constraints that allows to estimate their maximum transmission capacity;
- A methodology to assess the robustness of static reduced network models to the optimization of PSTs;
- A methodology to determine generation variable costs based on publicly available data.

List of publications

- N. Marinho, Y. Phulpin, D. Folliot, and M. Hennebel, "Redispatch index for assessing bidding zone delineation," in IET Generation Transmission and Distribution, 2017.
- N. Marinho, Y. Phulpin, A. Atayi, and M. Hennebel, "Modeling Phase Shifters in Power System Simulations Based on Reduced Networks," in Energies, 2019
- N. Marinho, Y. Phulpin, A. Atayi, and M. Hennebel, "Equivalent transmission capacity in reduced network models," to be submitted
- N. Marinho, Y. Phulpin, D. Folliot, and M. Hennebel, "Approaching generation variable costs from publicly available data," in 2016 13th International Conference on the European Energy Market (EEM), June 2016.
- N. Marinho, Y. Phulpin, D. Folliot, and M. Hennebel, "Network reduction based on multiple scenarios," in 2017 IEEE Manchester PowerTech, June 2017, pp. 1-6.

Thank you for your attention!